

НАЦІОНАЛЬНИЙ ТЕХНІЧНИЙ УНІВЕРСИТЕТ УКРАЇНИ  
"КИЇВСЬКИЙ ПОЛІТЕХНІЧНИЙ ІНСТИТУТ"  
ФАКУЛЬТЕТ ІНФОРМАТИКИ ТА ОБЧИСЛЮВАЛЬНОЇ ТЕХНІКИ  
Кафедра обчислювальної техніки

## РОЗРАХУНКОВА РОБОТА

по курсу „Комп'ютерна логіка-2”

Виконала: Гарасимович Галина Володимирівна

Група ІО-44, Факультет ІОТ,

Залікова книжка № 4406

Номер технічного завдання 1000100110110

---

(підпис керівника)

## Завдання

1. Числа  $X_2$  і  $Y_2$  в прямому коді записати у формі з плаваючою комою (з порядком і мантисою, а також з характеристикою та мантисою), як вони зберігаються у пам'яті. На порядок (характеристику) відвести 8 розрядів, на мантису 16 розрядів (з урахуванням знакових розрядів).

2. Виконати 8 операцій з числами  $X_2$  і  $Y_2$  з плаваючою комою (чотири способи множення, два способи ділення, додавання та добування кореня з  $Y_2$ ). Номери операцій (для п.3) відповідають порядку переліку (наприклад, 1 – множення першим способом; 6 – ділення другим способом; 8 – добування кореня). Для обробки мантис кожної операції, подати:

2.1 теоретичне обґрунтування способу;

2.1 операційну схему;

2.2 змістовний мікроалгоритм;

2.3 таблицю станів регістрів (лічильника), довжина яких забезпечує одержання 15 основних розрядів мантиси результату;

2.4 функціональну схему з відображенням управляючих сигналів;

2.5 закодований мікроалгоритм (мікрооперації замінюються управл. сигналами);

2.6 граф управляючого автомата Мура з кодами вершин;

2.7 обробку порядків (показати у довільній формі);

2.8 форму запису нормалізованого результату з плаваючою комою в пам'ять.

Операцію додавання до етапу нормалізації результату можна проілюструвати у довільній формі. Вказані пункти виконати для етапу нормалізації результату з урахуванням можливого нулевого результату.

3. Для операції з двійковим номером  $x_3x_2x_1+1$  побудувати управляючий автомат Мура на тригерах (тип тригера вибрати самостійно) і елементах булевого базису.

### Визначення та обґрунтування варіанту:

Перевести номер залікової книжки в двійкову систему. Записати два двійкових числа:

$$X_2 = -1x_{10}x_91x_8x_7x_61, x_5x_40x_31x_2x_1 \text{ і } Y_2 = +1x_{10}1x_9x_8, x_7x_61x_5x_40x_3x_2x_1,$$

де  $x_i$  - двійкові цифри номера залікової книжки у двійковій системі числення ( $x_1$  - молодший розряд).

$$4406_{10}=1000100110110_2;$$

$$X_2 = -1x_{10}x_91x_8x_7x_61, x_5x_40x_31x_2x_1 = -10110011,1001110;$$

$$Y_2 = +1x_{10}1x_9x_8, x_7x_61x_5x_40x_3x_2x_1 = +10110,0111001101;$$

## Основна частина:

### Завдання №1

$$X_{\text{ПК}} = 1.10110011, 1001110;$$

$$Y_{\text{ПК}} = 0.10110, 0111001101;$$

Представлення чисел у формі з плаваючою точкою з порядком і мантиєю:

$X_2$ :

0	0	0	0	1	0	0	0
---	---	---	---	---	---	---	---

1	1	0	1	1	0	0	1	1	1	0	0	1	1	1	0
---	---	---	---	---	---	---	---	---	---	---	---	---	---	---	---

$Y_2$ :

0	0	0	0	0	1	0	1
---	---	---	---	---	---	---	---

0	1	0	1	1	0	0	1	1	1	0	0	1	1	0	1
---	---	---	---	---	---	---	---	---	---	---	---	---	---	---	---

Представлення чисел у формі з плаваючою точкою з характеристикою і мантиєю:

$$E = P + 2^m,$$

$$m = 7;$$

$$2^7 = 10000000_2$$

$$E_x = 10000000 + 111 = 10000111$$

$X_2$ :

1	0	0	0	0	1	1	1
---	---	---	---	---	---	---	---

1	0	1	1	0	0	1	1	1	0	0	1	1	1	0	1
---	---	---	---	---	---	---	---	---	---	---	---	---	---	---	---

$$E_y = 10000000 + 100 = 10000100$$

$Y_2$ :

1	0	0	0	0	1	0	0
---	---	---	---	---	---	---	---

0	0	1	1	0	0	1	1	1	0	0	1	1	0	1	0
---	---	---	---	---	---	---	---	---	---	---	---	---	---	---	---

### Завдання №2

#### 2.1 Перший спосіб множення.

##### 2.1.1 Теоретичне обґрунтування першого способу множення:

Числа множаться у прямих кодах, знакові та основні розряди обробляються окремо. Для визначення знака добутку здійснюють підсумування по модулю 2 цифр, що розміщуються в знакових розрядах співмножників.

Множення мантий першим способом здійснюється з молодших розрядів множника, сума часткових добутків зсувається вправо, а множене залишається нерухомим. Тоді добуток двох чисел представляється у вигляді:

$$Z = YX = Yx_n 2^{-n} + Yx_{n-1} 2^{-n+1} \dots + Yx_1 2^{-1} =$$

$$= ((..((0+Yx_n) 2^{-1} + Yx_{n-1}) 2^{-1} + \dots + Yx_i) 2^{-1} + \dots + Yx_1) 2^{-1};$$

$$Z = \sum_{i=1}^n (Z_{i-1} + Yx_{n-i+1}) 2^{-1};$$

### 2.1.2 Операційна схема:

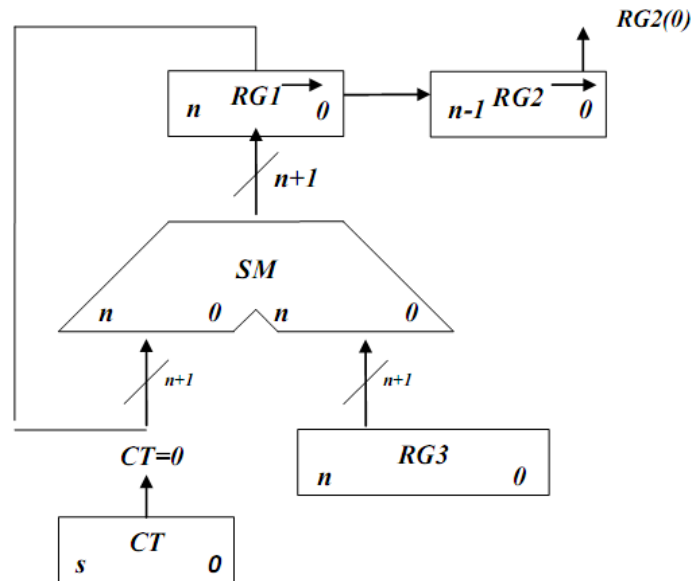


Рисунок 2.1.1- Операційна схема.

### 2.1.3 Змістовний мікроалгоритм:

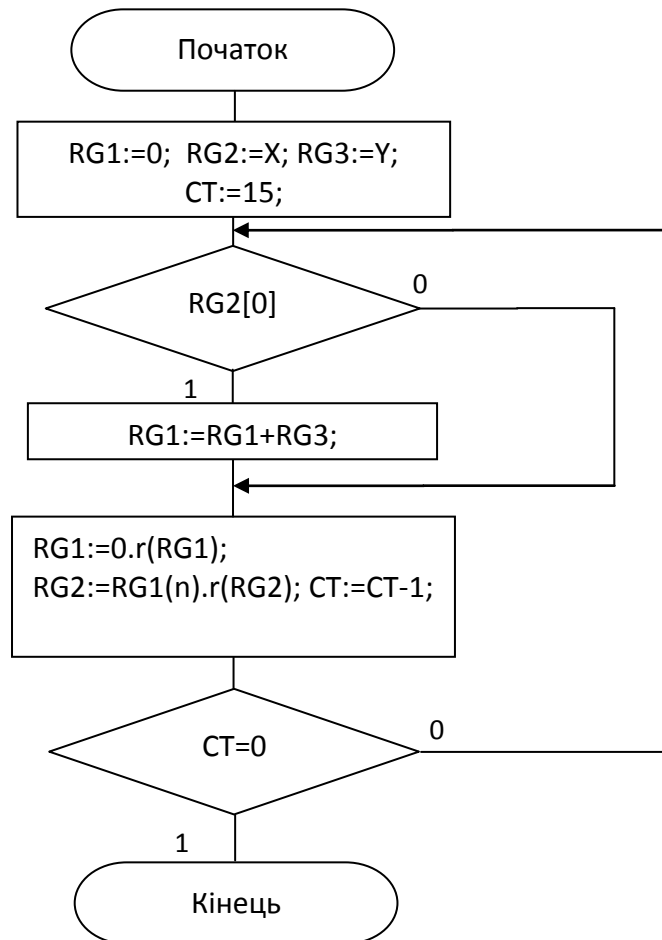


Рисунок 2.1.2 - Змістовний мікроалгоритм виконання операції множення першим способом.

## 2.1.4 Таблиця станів реєстрів:

Таблиця 2.1.1-Таблиця станів реєстрів для першого способу множення.

№	RG1	RG2	RG3	СТ
пс	0	101100111001110	101100111001101	1111
1	0	010110011100111		1110
2	00010110011100110	101011001110011		1101
3	+ 00101100111001101 1000011010110011 0100001101011001	110101100111001		1100
4	+ 00101100111001101 1001110100100110 0100111010010011	011010110011100		1011
5	0010011101001001	101101011001110		1010
6	0001001110100100	110110101100111		1001
7	+ 00101100111001101 0110110101110001 0011011010111000	111011010110011		1000
8	+ 00101100111001101 1001000010000101 0100100001000010	111101101011001		0111
9	+ 00101100111001101 1010001000001111 0101000100000111	111110110101100		0110
10	0010100010000011	111111011010110		0101
11	0001010001000001	111111101101011		0100
12	+ 00101100111001101 0110111000001110 0011011100000111	011111110110101		0011
13	+ 00101100111001101 1001000011010100 0100100001101010	001111111011010		0010
14	0010010000110101	000111111101101		0001
15	+ 00101100111001101 0111111100000010 0011111100000001	000011111110110		0000

## 2.1.5 Функціональна схема:

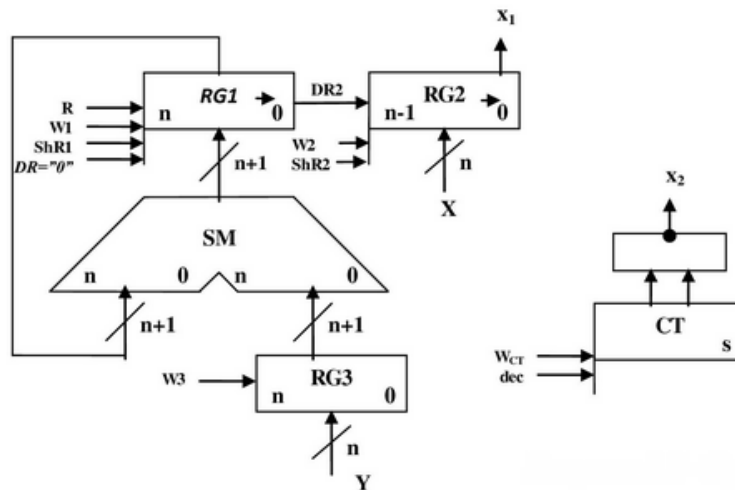
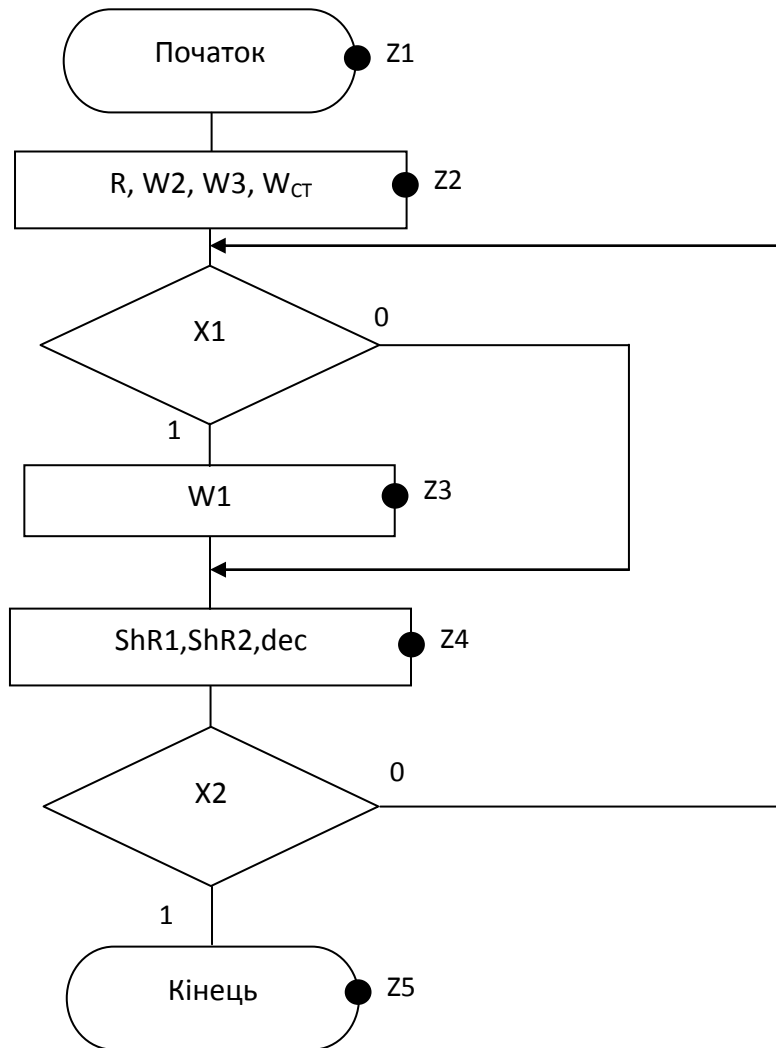


Рисунок 2.1.3- Функціональна схема.

## 2.1.6 Закодований мікроалгоритм

Таблиця 2.1.2-Таблиця кодування операцій і логічних умов.

Кодування мікрооперацій		Кодування логічних умов	
МО	УС	ЛУ	Позначення
G1:=0	R	RG2[0]	X1
RG2:=X	W2	CT=0	X2
RG3:=Y	W3		
CT:=15	W <sub>CT</sub>		
RG1:=RG1+RG3	W1		
RG1:=0.r(RG1)	ShR1		
RG2:=RG1[0].r(RG2)	ShR2		
CT:=CT-1	dec		



*Рисунок 2.1.4-Закодований мікроалгоритм.*

### 2.1.7 Граф управляючого автомата Мура з кодами вершин:



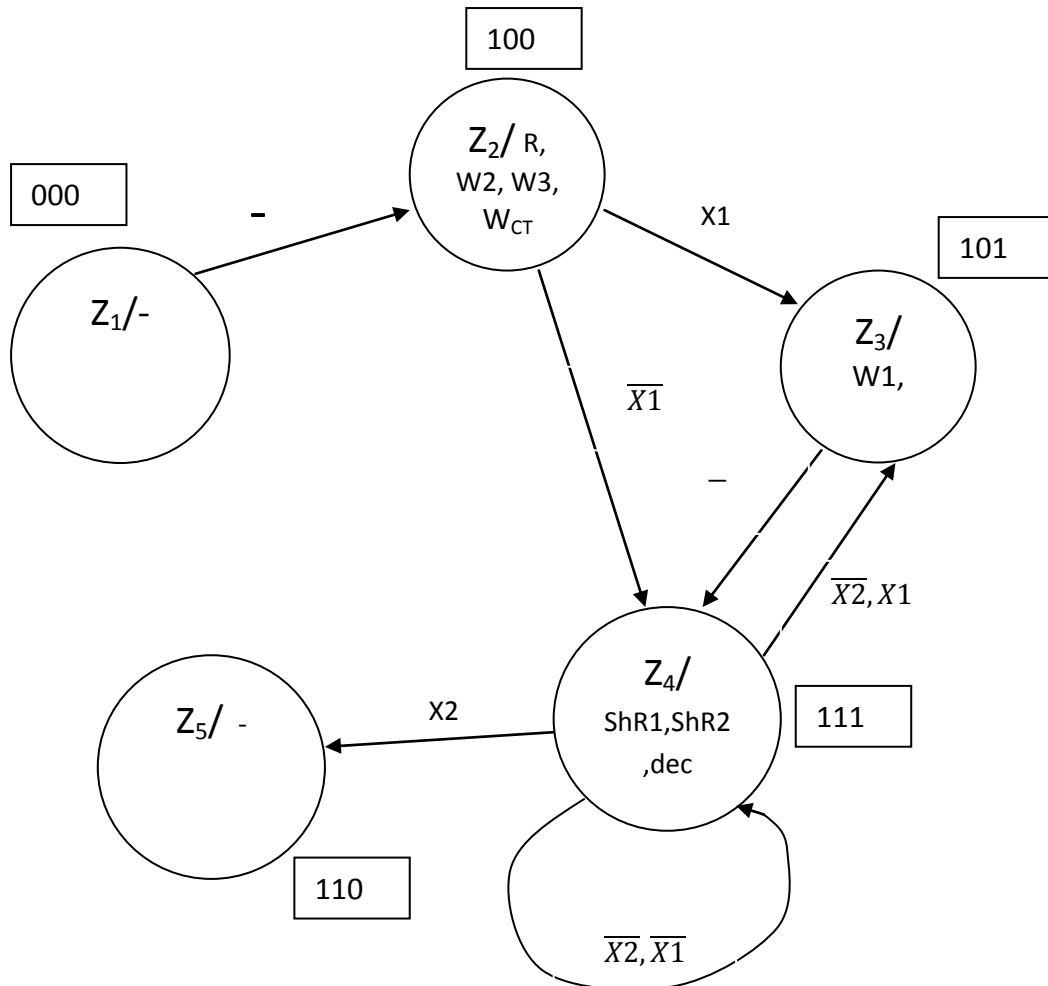


Рисунок 2.1.5-Граф автомата Мура

### 2.1.8 Обробка порядків:

Порядок добутку буде дорівнювати сумі порядків множників з урахуванням знаку порядків:  $P_z = P_x + P_y$ ;

$$P_x=8; P_y=5; P_z=13_{10}=1101_2$$

### 2.1.9 Нормалізація результату:

Отримали результат: 0111111000000010

Знак мантиси:  $1 \oplus 0 = 1$ .

Робимо зсув результату вліво, доки у першому розряді не буде одиниця,

Порядок зменшуємо на 1:

$$1111110000000100; P_z=12;$$

Запишемо нормалізований результат:

0	0	0	0	1	1	0	0	1	1	1	1	1	1	1	0	0	0	0	0	0	0	1	0
---	---	---	---	---	---	---	---	---	---	---	---	---	---	---	---	---	---	---	---	---	---	---	---

## 2.2 Другий спосіб множення.

### 2.2.1 Теоретичне обґрунтування другого способу множення:

Числа множаться у прямих кодах, знакові та основні розряди обробляються окремо. Визначення знака добутку здійснюють підсумування по модулю 2 цифр, що розміщуються в знакових розрядах співмножників.

Множення мантис другим способом здійснюється з молодших розрядів, множене зсувається вліво, а сума часткових добутків залишається нерухомою.

$$Z = YX_n 2^{-n} + YX_{n-1} 2^{-n+1} \dots + YX_1 2^{-1};$$

$$Z = ((0 + YX_n 2^{-n}) + YX_{n-1} 2^{-n+1}) \dots + YX_1 2^{-1};$$

$$Z = \sum_{i=1}^n Z_{i-1} + YX_{n-i+1} 2^{-n+i-1};$$

$$Z_0 = 0;$$

$$Y_0 = 0$$

### 2.2.2 Операційна схема:

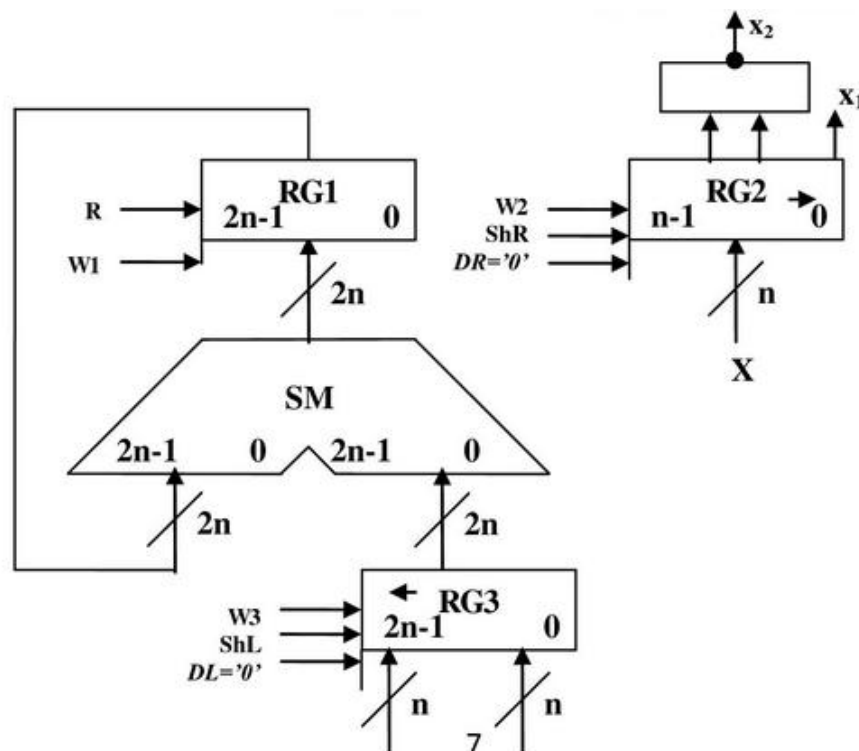
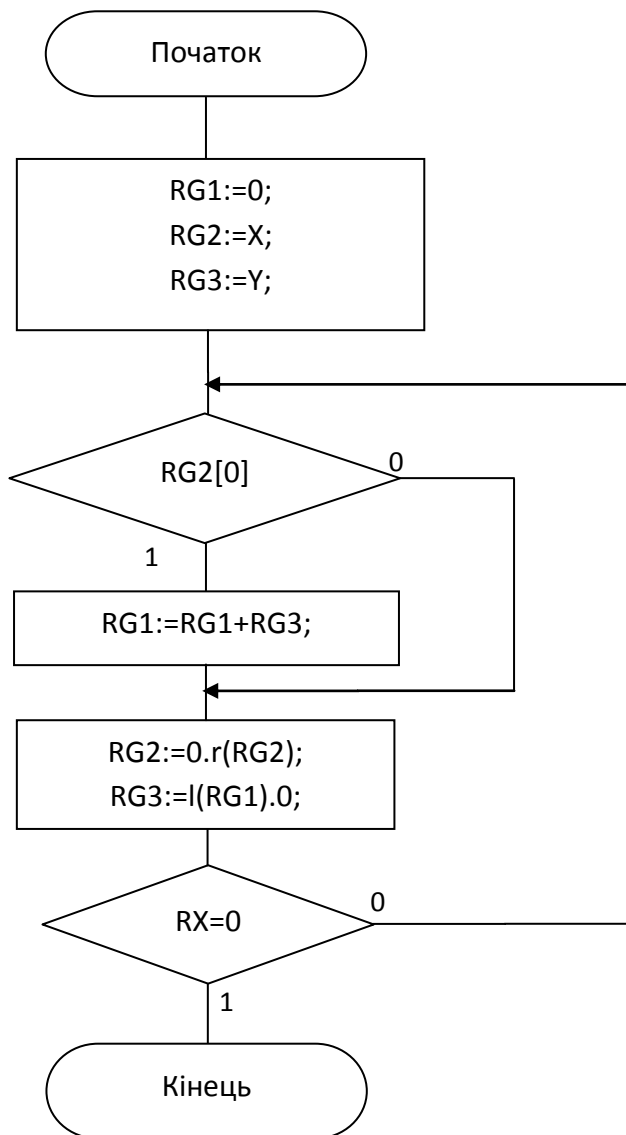


Рисунок 2.2.1- Операційна схема




<b>№</b>	<b>RG1</b>	<b>RG3←</b>	<b>RG2→</b>
<b>пс</b>	0	0000000000000000101100111001101	101100111001110
<b>1</b>	0	00000000000000001011001110011010	010110011100111
<b>2</b>	00000000000000001011001110011010	000000000000000010110011100110100	001011001110011
<b>3</b>	+ 000000000000000010110011100110100 0000000000000100001101011001110	00000000000000101100111001101000	000101100111001
<b>4</b>	+ 00000000000000101100111001101000 0000000000001001110100100110110	0000000000001011001110011010000	000010110011100
<b>5</b>	0000000000001001110100100110110	00000000000010110011100110100000	000001011001110

6	0000000000001001110100100110110	0000000000101100111001101000000	000000101100111
7	+ 00000000000101100111001101000000 0000000000110110101110001110110	00000000001011001110011010000000	000000010110011
8	+ 00000000001011001110011010000000 000000010010000100001011110110	0000000010110011100110100000000	000000001011001
9	+ 00000000010110011100110100000000 000000101000100000111111110110	0000000101100111001101000000000	000000000101100
10	000000101000100000111111110110	0000001011001110011010000000000	000000000010110
11	000000101000100000111111110110	0000010110011100110100000000000	000000000001011
12	+ 00000101100111001101000000000000 000011011100000111011111110110	0000101100111001101000000000000	000000000000101
13	+ 00001011001110011010000000000000 001001000011010100011111110110	0001011001110011010000000000000	000000000000010
14	001001000011010100011111110110	0010110011100110100000000000000	000000000000001
15	+ 00101100111001101000000000000000 011111100000001000011111110110	0101100111001101000000000000000	000000000000000

## 2.2.5 Функціональна схема:

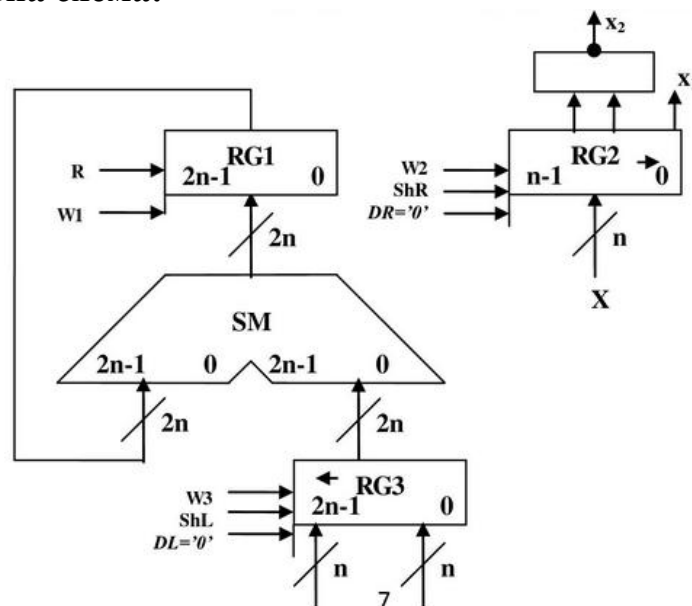


Рисунок 2.2.3- Функціональна схема.

## 2.2.6 Закодований мікроалгоритм

Таблиця 2.2.2-Таблиця кодування операцій і логічних умов.

Кодування мікрооперацій		Кодування логічних умов	
МО	УС	ЛУ	Позначення
RG1:=0	R	RG2[0]	X1
RG2:=X	W2	RG2=0	X2

RG3:=Y RG1:=RG1+RG3 RG2:=0.r(PG2) RG3:=l(RG3).0	W3 W1 ShR ShL		
--	------------------------	--	--

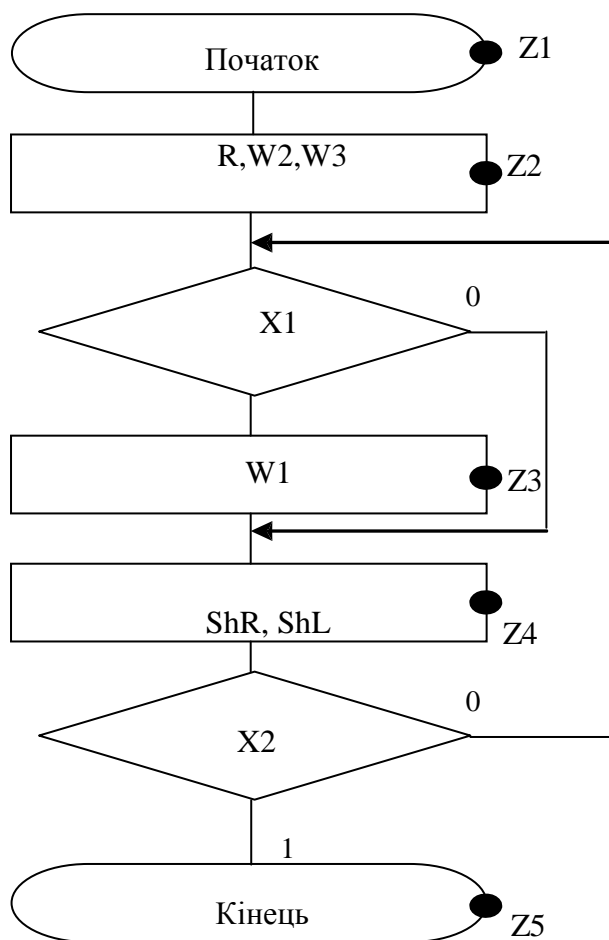


Рисунок 2.2.4-Закодований мікроалгоритм.

### 2.2.7 Граф управляючого автомата Мура з кодами вершин:

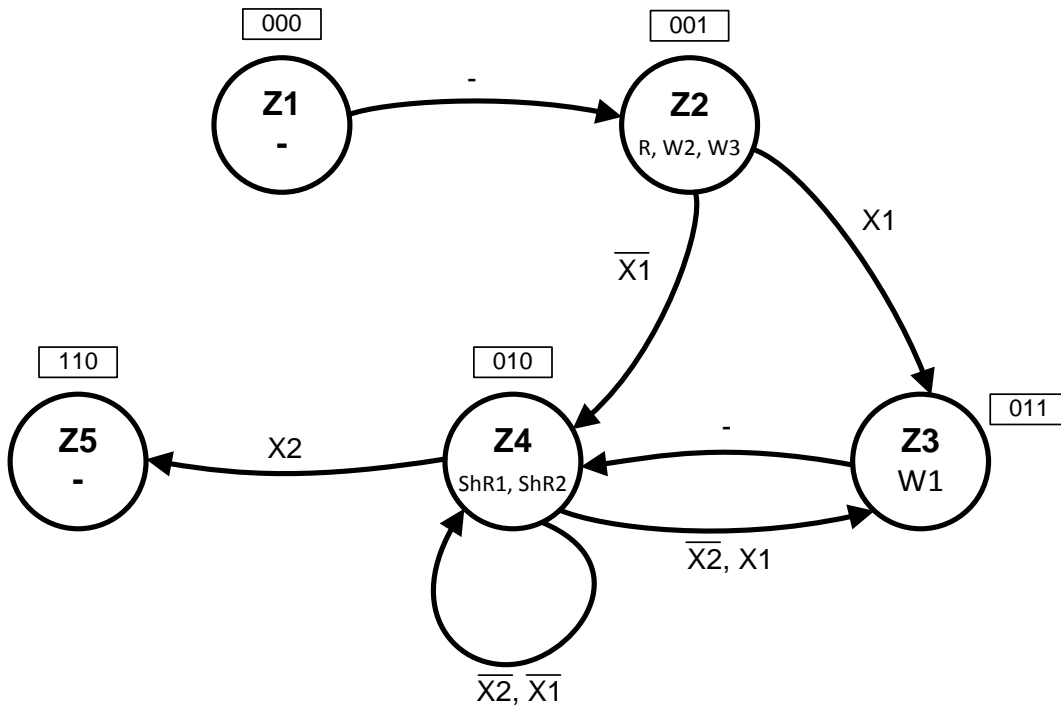


Рисунок 2.2.5 - Граф автомата Мура

### 2.2.8 Обробка порядків:

Порядок добутку буде дорівнювати сумі порядків множників з урахуванням знаку порядків:  $P_z = P_x + P_y$ ;

$$P_x=8; P_y=5; P_z=13_{10}=1101_2$$

### 2.2.9 Нормалізація результату:

Отримали результат: 0111111000000010

Знак мантиси:  $1 \oplus 0 = 1$ .

Робимо зсув результату вліво, доки у першому розряді не буде одиниця,

Порядок зменшуємо на 1:

$$1111110000000100; P_z=12;$$

Запишемо нормалізований результат:

0	0	0	0	1	1	0	0	1	1	1	1	1	1	1	0	0	0	0	0	0	0	1	0
---	---	---	---	---	---	---	---	---	---	---	---	---	---	---	---	---	---	---	---	---	---	---	---

## 2.3 Третій спосіб множення.

### 2.3.1 Теоретичне обґрунтування третього способу множення:

Числа множаться у прямих кодах, знакові та основні розряди обробляються окремо. Визначення знака добутку здійснюють підсумування по модулю 2 цифр, що розміщуються в знакових розрядах співмножників.

Множення мантис третім способом здійснюється зі старших розрядів множника, сума часткових добутоків і множник зсуваються вліво, а множене нерухоме.

$$Z = YX_n 2^{-n} + YX_{n-1} 2^{-n+1} \dots + YX_1 2^{-1};$$

$$Z = YX_n 2^{-n} + 2(YX_{n-1} 2^{-n} + 2(YX_{n-2} 2^{-n} \dots + 2YX_1 2^{-n}));$$

$$Z = \sum_{i=1}^n 2Z_{i-1} + YX_i 2^{-n};$$

$$Z_0 = 0;$$

$$Y_0 = 0$$

### 2.3.2 Операційна схема:

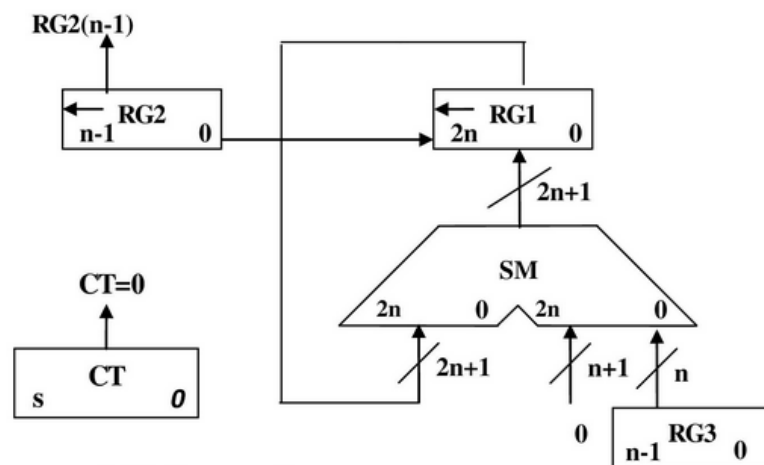


Рисунок 2.3.1 - Операційна схема

### 2.3.3 Змістовний мікроалгоритм:

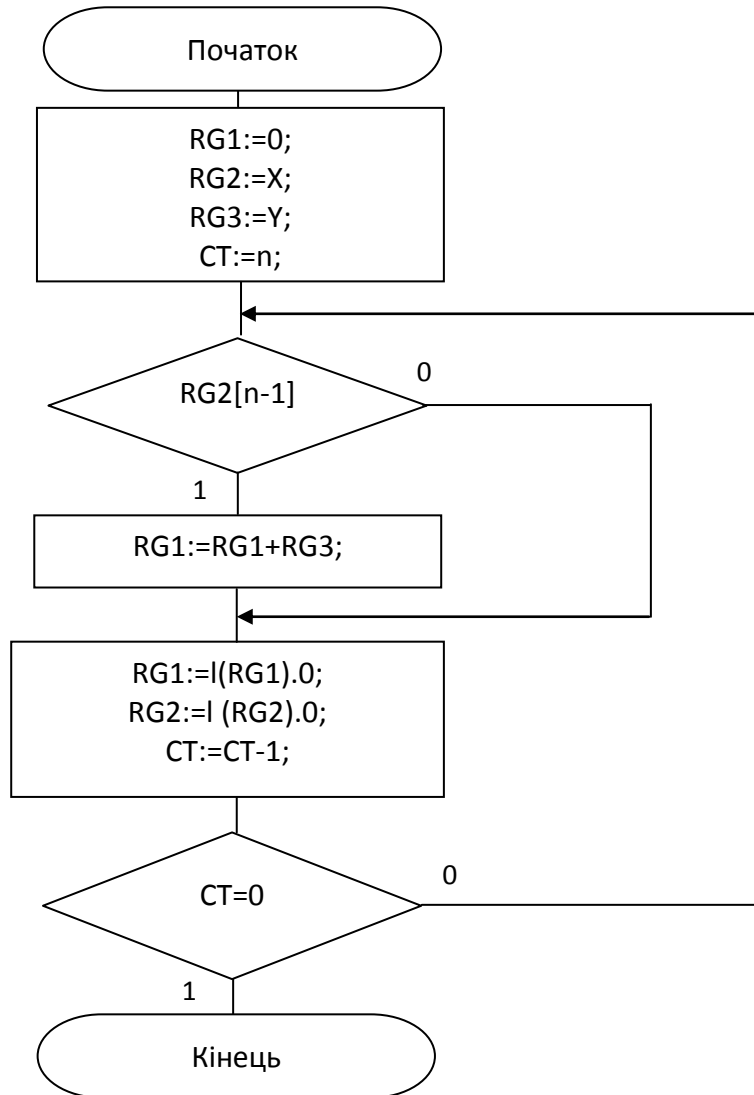


Рисунок 2.3.2 - Змістовний мікроалгоритм.

### 2.3.4 Таблиця станів регістрів:

Таблиця 2.3.1- Таблиця станів регістрів

№ пс	RG1←	RG2←	RG3	CT
	00000000000000000000000000000000	101100111001110	101100111001101	1111
1	000000000000000001011001110011010	011001110011100		1110
2	0000000000000000010110011100110100	110011100111000		1101
3	+ 0000000000000000000101100111001101 0000000000000000011100000100000001 00000000000000000111000001000000010	100111001110000		1100
4	+ 0000000000000000000101100111001101 00000000000000000111101101111001111 000000000000000001111011011110011110	001110011100000		1011
5	0000000000000000011110110111100111100	011100111000000		1010
6	00000000000000000111101101111001111000	111001110000000		1001
7	+ 0000000000000000000101100111001101	110011100000000		1000



	000000000111110011100001000101 0000000001111100111000010001010			
8	+ 0000000000000000000101100111001101 0000000001111101100101001010111 000000011111011001010010101110	1001110000000000		0111
9	+ 0000000000000000000101100111001101 000000011111011110111001111011 000000111110111101110011110110	0011100000000000		0110
10	000001111101111011100111101100	0111000000000000		0101
11	000011111011110111001111011000	1110000000000000		0100
12	+ 0000000000000000000101100111001101 000011111011111100110110100101 000111110111111001101101001010	1100000000000000		0011
13	+ 0000000000000000000101100111001101 000111110111111111010100010111 001111101111111110101000101110	1000000000000000		0010
14	+ 0000000000000000000101100111001101 001111110000000100001111111011 011111100000001000011111110110	0000000000000000		0001
15	111111000000010000111111101100	0000000000000000		0000

### 2.3.5 Функціональна схема:

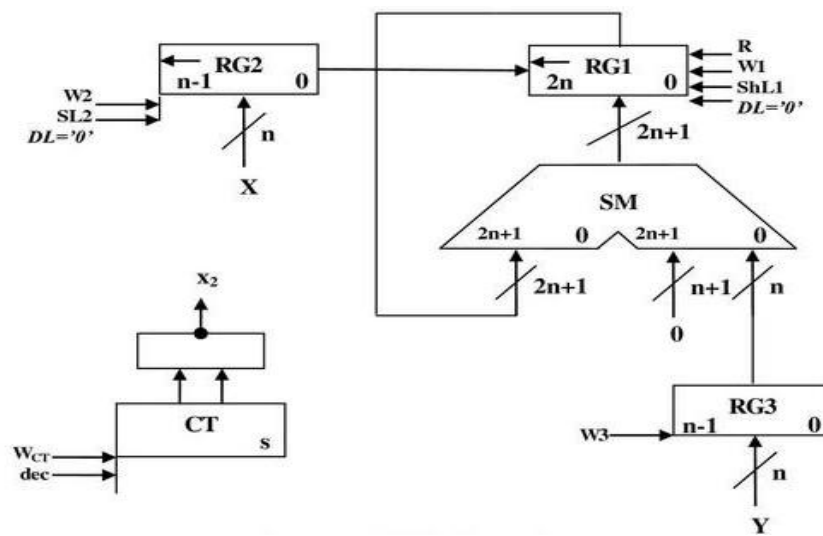


Рисунок 2.3.3 - Функціональна схема.

### 2.3.6 Закодований мікроалгоритм:

Таблиця 2.3.2-Таблиця кодування операцій і логічних умов.

Кодування мікрооперацій		Кодування логічних умов	
МО	УС	ЛУ	Позначення
RG1:=0	R	RG2[n-1]	X1
RG2:=X	W2	CT=0	X2
RG3:=Y	W3		
CT:=15	W <sub>CT</sub>		
RG1:=RG1+RG3	W1		
RG1:=l(RG1).0	ShL1		
RG2:=l(RG2).0	ShL2		
CT:=CT-1	dec		

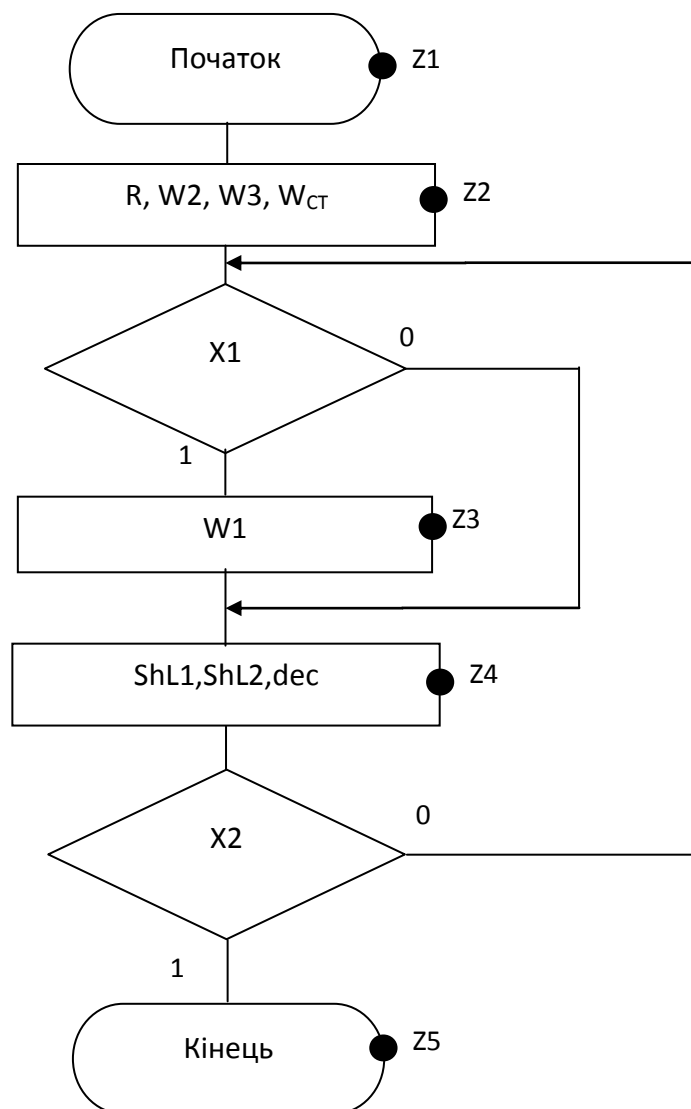


Рисунок 2.3.4-Закодований мікроалгоритм.

### 2.3.7 Граф управляючого автомата Мура з кодами вершин:

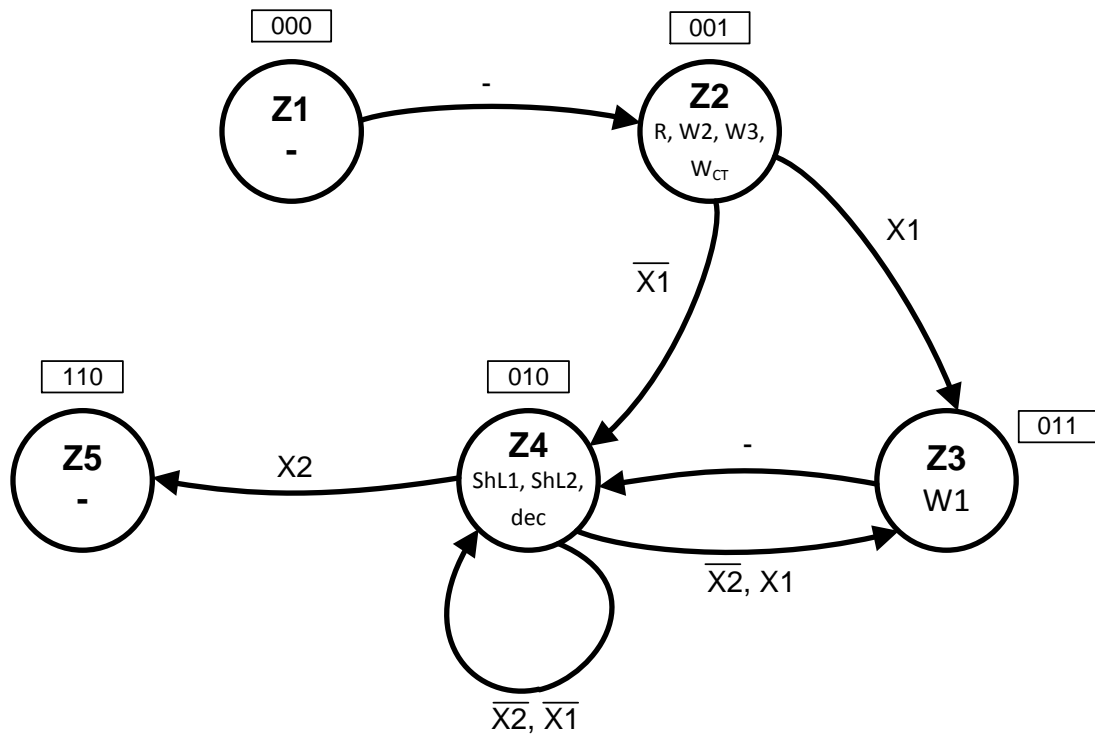


Рисунок 2.3.5 - Граф автомата Мура

### 2.3.8 Обробка порядків:

Порядок добутку буде дорівнювати сумі порядків множників з урахуванням знаку порядків:  $P_z = P_x + P_y$ ;

$$P_x=8; \quad P_y=5; \quad P_z=13_{10}=1101_2$$

### 2.3.9 Нормалізація результату:

Отримали результат: 0111111000000010

Знак мантиси:  $1 \oplus 0 = 1$ .

Робимо зсув результату вліво, доки у першому розряді не буде одиниця,

Порядок зменшуємо на 1:

$$1111110000000100; \quad P_z=12;$$

Запишемо нормалізований результат:

0	0	0	0	1	1	0	0	1	1	1	1	1	1	1	0	0	0	0	0	0	0	1	0
---	---	---	---	---	---	---	---	---	---	---	---	---	---	---	---	---	---	---	---	---	---	---	---

## 2.4 Четвертий спосіб множення.

### 2.4.1 Теоритичне обґрунтування четвертого способу множення:

Числа множаться у прямих кодах, знакові та основні розряди обробляються окремо. Визначення знака добутку здійснюють підсумування по модулю 2 цифр, що розміщуються в знакових розрядах співмножників.

Множення здійснюється зі старших розрядів множника, сума часткових добутків залишається нерухомою, множене зсувається праворуч, множник ліворуч.

$$Z = Y \cdot x_n \cdot 2^{-n} + Y \cdot x_{n-1} \cdot 2^{-n+1} + \dots + Y \cdot x_1 \cdot 2^{-1}.$$

$$Z = ((\dots ((0 + Y \cdot 2^{-1}x_1) + Y \cdot 2^{-2}x_2) + \dots + Y \cdot 2^{-k}x_k) + \dots + Y \cdot 2^{-k}x_k).$$

$$Z_i = Z_{i-1} + 2^{-1}Y_{i-1} \cdot x_i \text{ з початковими значеннями } i=1, Y_0=2^{-1}Y, Z_0=0.$$

### 2.4.2 Операційна схема:

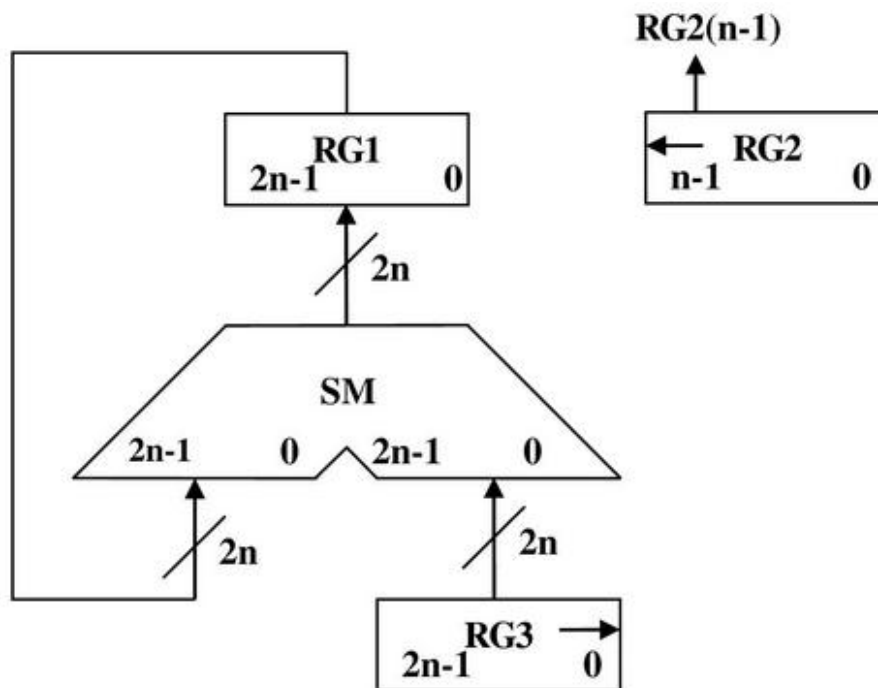


Рисунок 2.4.1- Операційна схема

### 2.4.3 Змістовний мікроалгоритм:

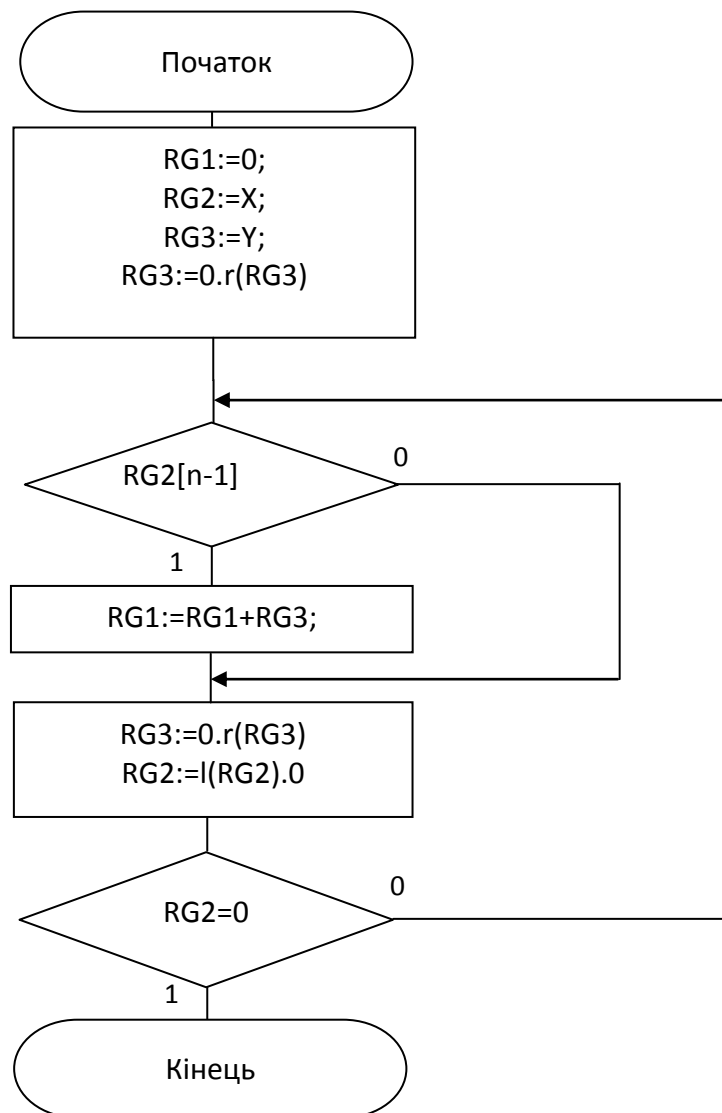


Рисунок 2.4.2 - Змістовний мікроалгоритм.

### 2.4.4 Таблиця станів регістрів:

Таблиця 2.4.1- Таблиця станів регістрів

№	RG1	RG3 →	RG2 ←
ПС	00000000000000000000000000000000	00101100111001101000000000000000	101100111001110
1	00101100111001101000000000000000	00010110011100110100000000000000	011001110011100
2	00101100111001101000000000000000	00001011001110011010000000000000	110011100111000
3	+ 00001011001110011010000000000000 01110000010000000100000000000000	00000101100111001101000000000000	100111001110000
4	+ 00000101100111001101000000000000 01111011011110011110000000000000	00000010110011100110100000000000	001110011100000
5	01111011011110011110000000000000	00000001011001110011010000000000	011100111000000
6	01111011011110011110000000000000	00000000101100111001101000000000	111001110000000

7	+ 00000000010110011100110100000000 011111001110000100010100000000	0000000001011001110011010000000	1100111000000000
8	+ 00000000010110011100110100000000 011111011001010010101110000000	0000000001011001110011010000000	1001110000000000
9	+ 00000000000101100111001101000000 011111011110111001111011000000	0000000000010110011100110100000	0011100000000000
10	011111011110111001111011000000	0000000000001011001110011010000	0111000000000000
11	011111011110111001111011000000	0000000000000101100111001101000	1110000000000000
12	+ 00000000000000101100111001101000 011111011111100110110100101000	0000000000000010110011100110100	1100000000000000
13	+ 00000000000000010110011100110100 011111011111111101010001011100	0000000000000001011001110011010	1000000000000000
14	+ 00000000000000001011001110011010 01111110000000100001111110110	0000000000000000101100111001101	0000000000000000
15	01111110000000100001111110110	0000000000000000010110011100110	0000000000000000

## 2.4.5 Функціональна схема:

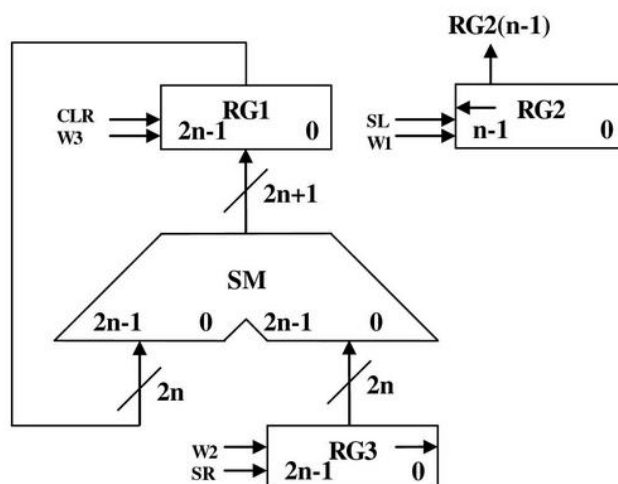


Рисунок 2.4.3 - Функціональна схема.

## 2.4.6 Закодований мікроалгоритм

Таблиця 2.4.2-Таблиця кодування операцій і логічних умов.

Кодування мікрооперацій		Кодування логічних умов	
МО	УС	ЛУ	Позначення
RG1:=0	R	RG2[n-1]	X1
RG2:=X	W2	RG2=0	X2
RG3:=Y	W3		
RG1:=RG1+RG3	W1		
RG3:=0.r(RG3)	ShR		
RG2:=l(RG2).0	ShL		

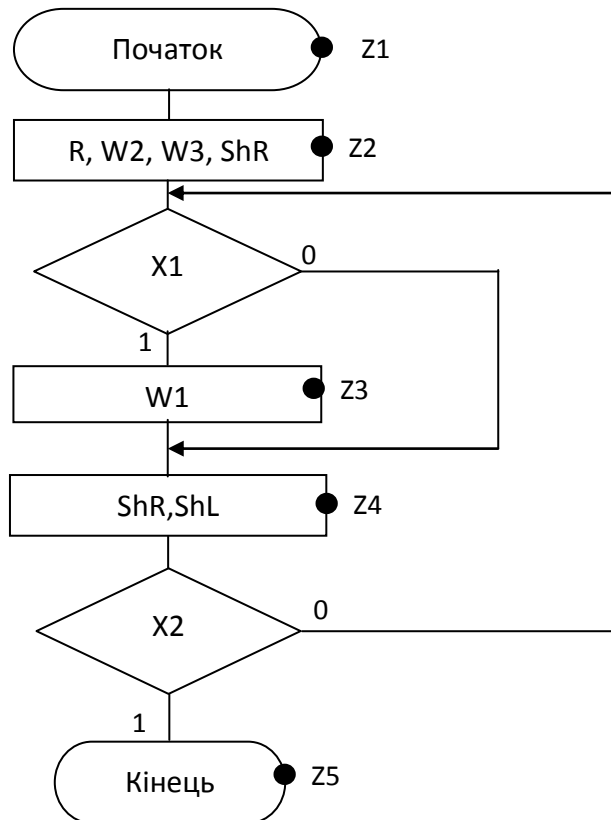


Рисунок 2.4.4-Закодований мікроалгоритм.

#### 2.4.7 Граф управляючого автомата Мура з кодами вершин:

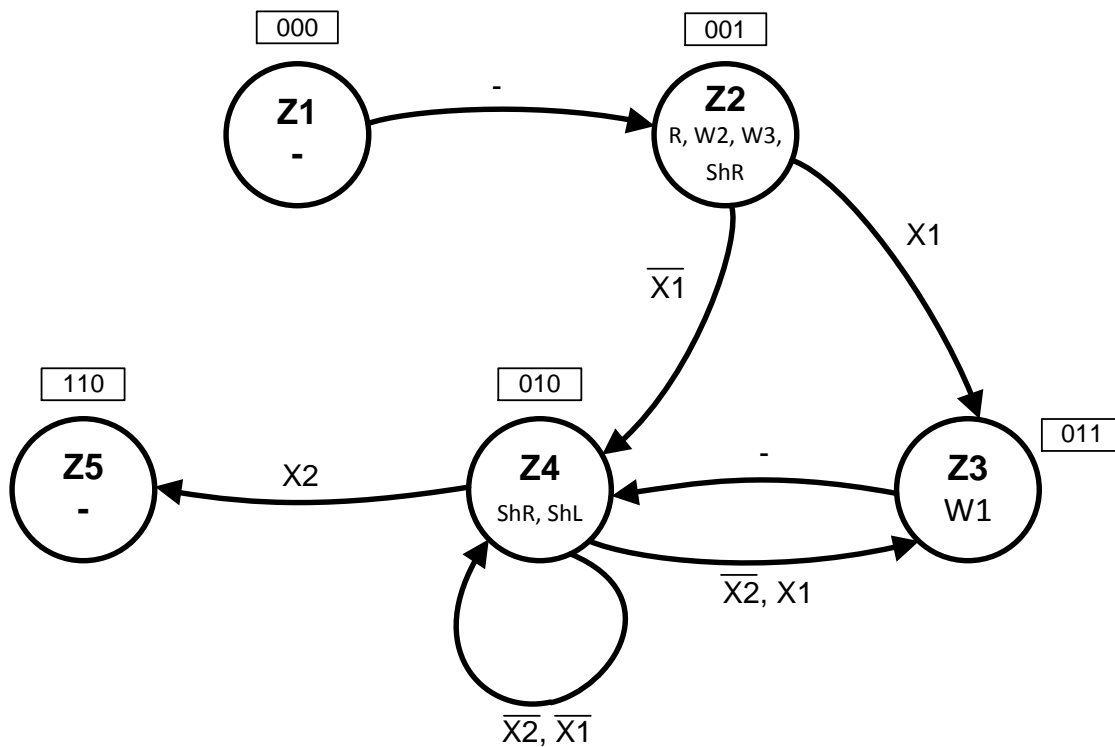


Рисунок 2.4.5 - Граф автомата Мура

#### 2.4.8 Обробка порядків:

Порядок добутку буде дорівнювати сумі порядків множників з урахуванням знаку порядків:  $P_z = P_x + P_y$ ;

$$P_x=8; P_y=5; P_z=13_{10}=1101_2$$

#### 2.4.9 Нормалізація результату:

Отримали результат: 0111111000000010

Знак манти:  $1 \oplus 0 = 1$ .

Робимо зсув результату вліво, доки у першому розряді не буде одиниця,

Порядок зменшуємо на 1:

$$1111110000000100; P_z=12;$$

Запишемо нормалізований результат:

0	0	0	0	1	1	0	0	1	1	1	1	1	1	1	0	0	0	0	0	0	1	0
---	---	---	---	---	---	---	---	---	---	---	---	---	---	---	---	---	---	---	---	---	---	---

### 2.5. Перший спосіб ділення.

#### 2.5.1 Теоритичне обґрунтування першого способу ділення:

Нехай ділене  $X$  і дільник  $Y$  є  $n$ -розрядними правильними дробами, поданими в прямому коді. В цьому випадку знакові й основні розряди операндів обробляються окремо. Знак результату визначається шляхом підсумовування по модулю 2 цифр, записаних в знакових розрядах.

При реалізації ділення за першим методом здійснюється зсув вліво залишку при нерухомому дільнику. Черговий залишок формується в регістрі RG2 (у вихідному стані в цьому регістрі записаний  $X$ ). Виходи RG2 підключені до входів СМ безпосередньо, тобто ланцюги видачі коду з RG2 не потрібні. Час для підключення  $n+1$  цифри частки визначається виразом  $t=(n+1)(tt+tc)$ , де  $tt$  - тривалість виконання мікрооперації додавання-віднімання;  $tc$  - тривалість виконання мікрооперації зсуву.



### 2.5.2 Операційна схема:

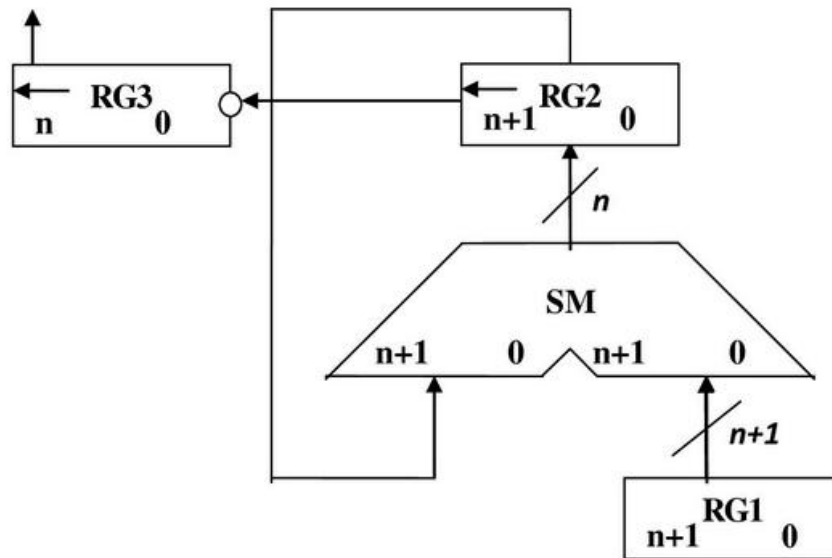


Рисунок 2.5.1- Операційна схема

### 2.5.3 Змістовний мікроалгоритм:

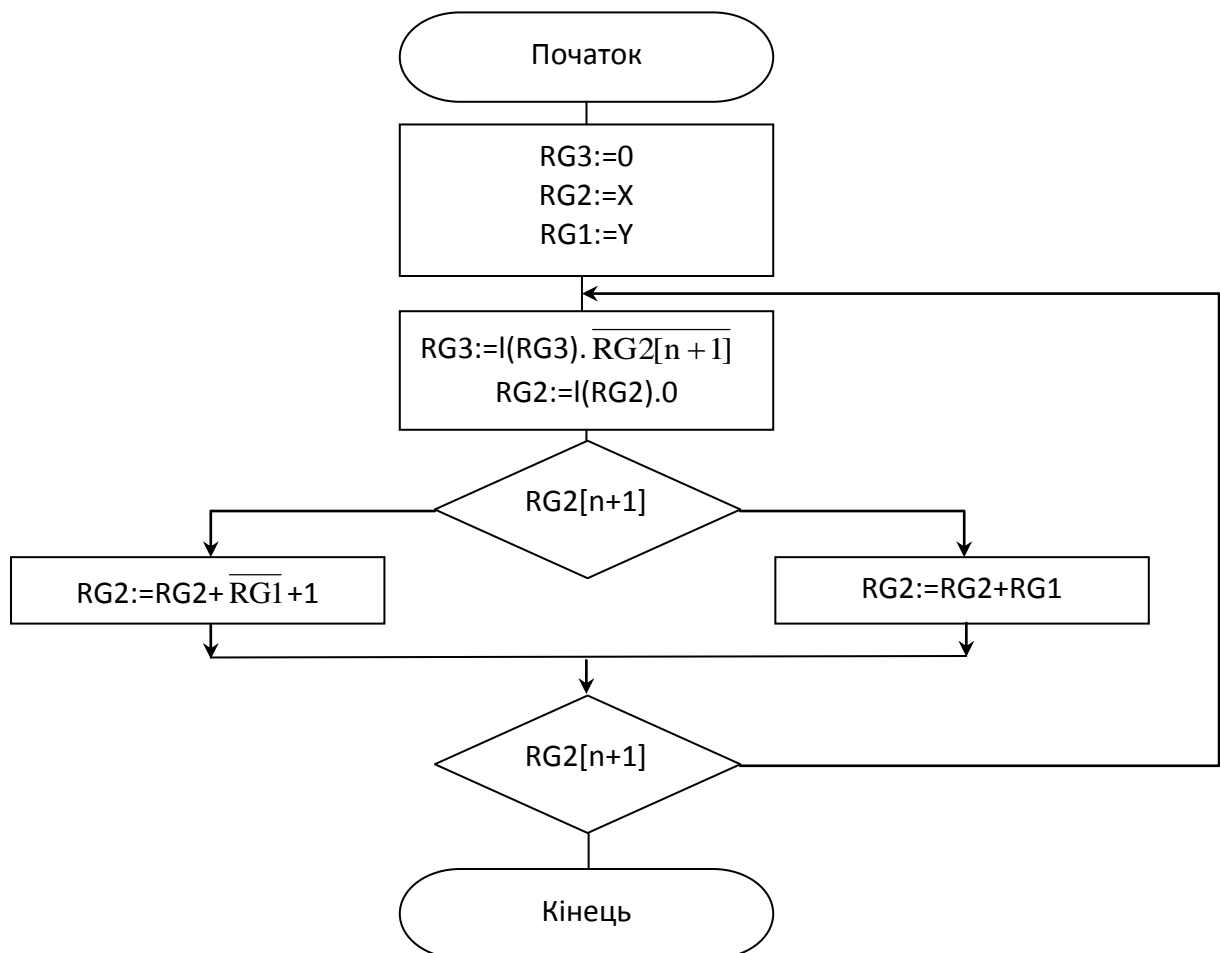


Рисунок 2.5.2-Змістовний мікроалгоритм

#### 2.5.4 Таблиця станів реєстрів:

№	RG3(Z)	RG2(X)	RG1(Y)
пс	0000000000000000	00101100111001110	101100111001101
1	00000000000000001	01011001110011100 + 11101001100011010 01000011010110110	
2	00000000000000011	10000110101101100 + 000101100111001101 10110011100111001	
3	00000000000000110	01100111001110010 + 11101001100011010 01010000110001100	
4	00000000000001101	10100001100011000 + 000101100111001101 11001110011100101	
5	00000000000011010	10011100111001010 + 000101100111001101 11001001110010111	
6	00000000000110100	10010011100101110 + 000101100111001101 11000000011111011	
7	0000000001101000	10000000111110110 + 000101100111001101 10101101111000011	
8	0000000011010000	01011011110000110 + 11101001100011010 01000101010100000	
9	0000000110100001	10001010101000000 + 000101100111001101 10110111100001101	
10	0000001101000010	01101111000011010 + 11101001100011010 01011000100110100	
11	0000011010000101	10110001001101000 +	

		000101100111001101 11011110000110101	
12	0000110100001010	10111100001101010 + 000101100111001101 11101001000110111	
13	0001101000010100	11010010001101110 + 000101100111001101 11111111000111011	
14	0011010000101000	11111110001110110 + 000101100111001101 00101011001000011	
15	0110100001010001	01010110010000110 + 11101001100011010 00111111110100000	
16	<b>1101000010100011</b>	01111111101000000 + 11101001100011010 01101001001011010	

### 2.5.5 Функціональна схема:

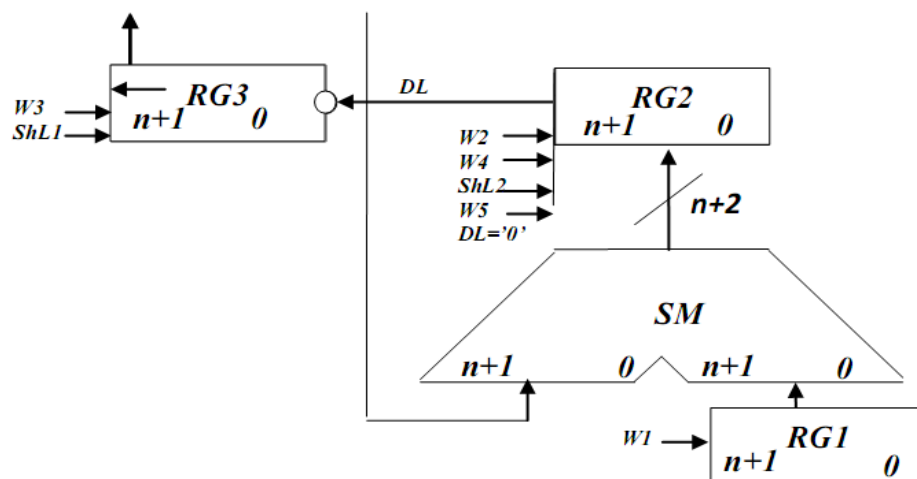


Рисунок 2.5.3 – Функціональна схема

### 2.5.6 Закодований мікроалгоритм

Таблиця 2.5.2-Таблиця кодування операцій і логічних умов.

Кодування мікрооперацій		Кодування логічних умов	
МО	УС	ЛУ	Позначення
RG3:=0	W3	RG2[n-1]	X1
RG2:=X;	W2	RG2=0	X2
RG1:=Y;	W1		

$RG3 := l(RG3).RG2[n+1]$ $RG2 := l(RG2).0$ $RG2 := RG2 + \overline{RG1} + 1$ $RG2 := RG2 + RG1$	ShL1 ShL2 W4 W5		
--	--------------------------	--	--

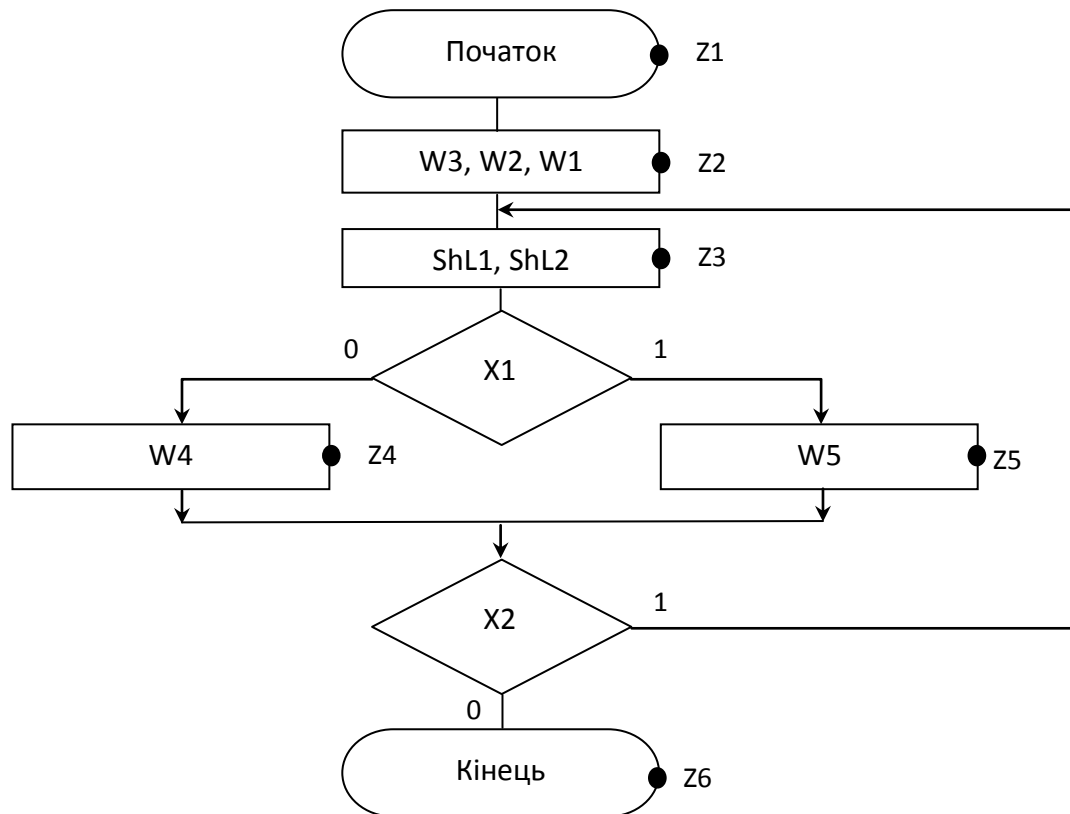


Рисунок 2.5.4-Закодований мікроалгоритм.

### 2.5.7 Граф управляючого автомата Мура з кодами вершин:

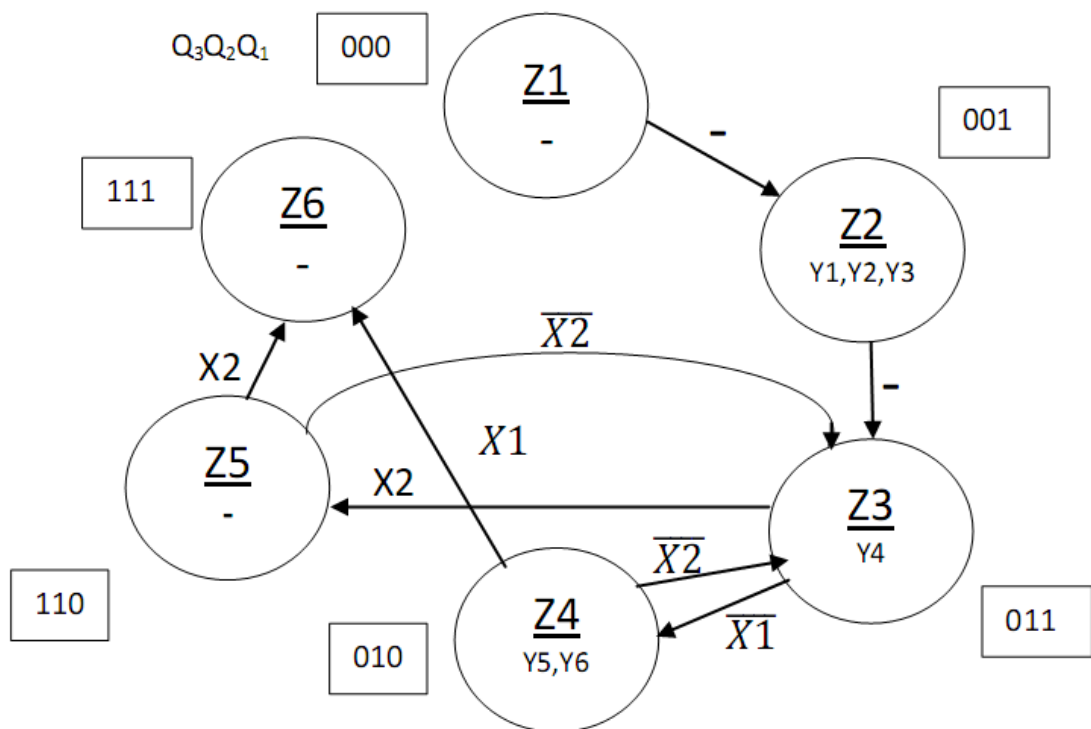


Рисунок 2.5.5 - Граф управляючого автомата.

### 2.5.8 Обробка порядків:

Порядок частки буде дорівнювати:  $P_z = P_x - P_y$ ;

В моєму випадку  $P_x=8$ ;  $P_y=5$ ;  $P_z=3$ ;

### 2.5.8 Нормалізація результату:

Отримали результат: **1101000010100011**

Знак мантии:  $1 \oplus 0 = 1$ .

Нормалізація мантиси не потрібна.

0	0	0	0	0	0	1	1	1	1	1	0	1	0	0	0	0	1	0	1	0	0	0	1
---	---	---	---	---	---	---	---	---	---	---	---	---	---	---	---	---	---	---	---	---	---	---	---

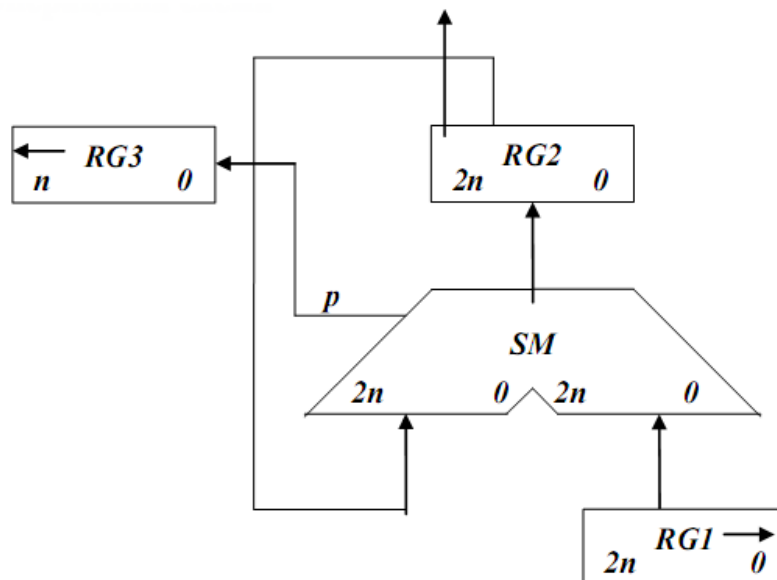
## 2.6. Другий спосіб ділення.

### 2.6.1 Теоритичне обґрунтування другого способу ділення:

Нехай ділене  $X$  і дільник  $Y$  є  $n$ -розрядними правильними дробами, поданими в прямому коді. В цьому випадку знакові й основні розряди операндів обробляються окремо. Знак результату визначається шляхом підсумовування по модулю 2 цифр, записаних в знакових розрядах.

Остача нерухома, дільник зсувається праворуч. Як і при множенні з нерухомою сумою часткових добутоків можна водночас виконувати підсумування і віднімання, зсув в регістрах Y,Z. Тобто 1 цикл може складатися з 1 такту, це дає прискорення відносно 1-го способу.

### 2.6.2 Операційна схема



### 2.6.3 Змістовний мікроалгоритм

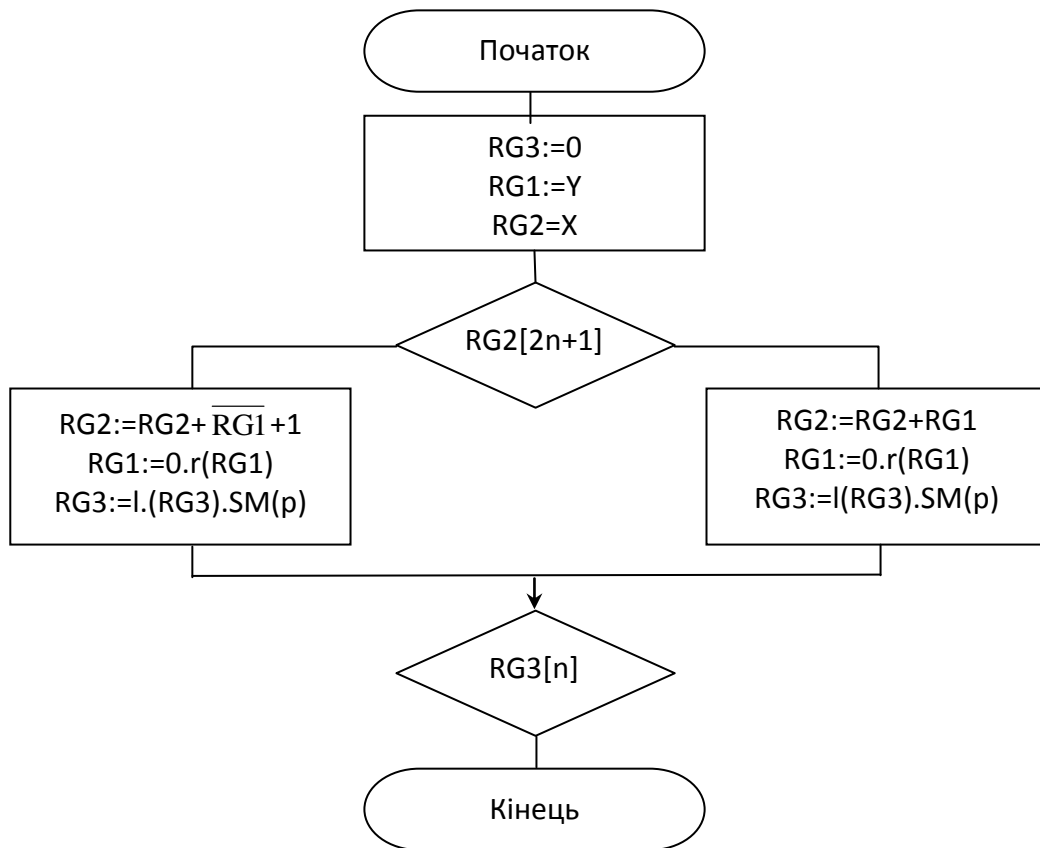


Рисунок 2.6.2-Змістовний мікроалгоритм

### 2.6.4 Таблиця станів реєстрів

Таблиця 2.6.1- Таблиця станів реєстрів

№	RG3 (Z)	RG2 (X)	RG1 (Y)
пс	000000000000000001	010110011100111000000000000000	000101100111001101000000000000
1	000000000000000011	010110011100111000000000000000 + <u>111010011000110011000000000000</u> 010000110101101011000000000000	000010110011100110100000000000
2	000000000000000110	010000110101101011000000000000 + <u>111101001100011001100000000000</u> 001110000010000100100000000000	000001011001110011010000000000
3	000000000000001101	001110000010000100100000000000 + <u>111110100110001100110000000000</u> 001100101000010001010000000000	000000101100111001101000000000
4	00000000000011010	001100101000010001010000000000 + <u>111111010011000110011000000000</u> 001011111011010111101000000000	000000010110011100110100000000
5	0000000000110100	001011111011010111101000000000 +	000000001011001110011010000000

		<u>11111101001100011001100000000</u> <u>00101110010011101011010000000</u>	
6	0000000001101000	00101110010011101011010000000 + <u>11111110100110001100110000000</u> <u>00101101100110110001101000000</u>	0000000001011001110011010000000
7	0000000011010000	001011011001101100011010000000 + <u>11111111010011000110011000000</u> <u>00101101010000010100110100000</u>	0000000001011001110011010000000
8	0000000110100001	001011010100000101001101000000 + <u>11111111101001100011001100000</u> <u>00101101000101000110011010000</u>	0000000000010110011100110100000
9	0000001101000010	001011010001010001100110100000 + <u>11111111110100110001100110000</u> <u>00101100111111011111001101000</u>	0000000000001011001110011010000
10	0000011010000101	001011001111110111110011010000 + <u>11111111111010011000110011000</u> <u>00101100111100101011100110100</u>	0000000000000101100111001101000
11	0000110100001010	001011001111001010111001101000 + <u>11111111111101001100011001100</u> <u>00101100111011010001110011010</u>	00000000000000010110011100110100
12	0001101000010100	001011001110110100011100110100 + <u>11111111111110100110001100110</u> <u>001011001110101001001110011010</u>	00000000000000001011001110011010
13	0011010000101000	001011001110101001001110011010 + <u>11111111111111010011000110011</u> <u>001011001110100011100111001101</u>	0000000000000000101100111001101
14	0110100001010001	001011001110100011100111001101 + <u>11111111111111101001100011010</u> <u>001011001110100000110011100111</u>	0000000000000000010110011100110
15	<b>1101000010100011</b>	001011001110100000110011100111 + <u>111111111111111110100110001101</u> <u>00101100111001111101100111010</u>	0000000000000000001011001110011

## 2.6.5 Функціональна схема з відображенням управляючих сигналів

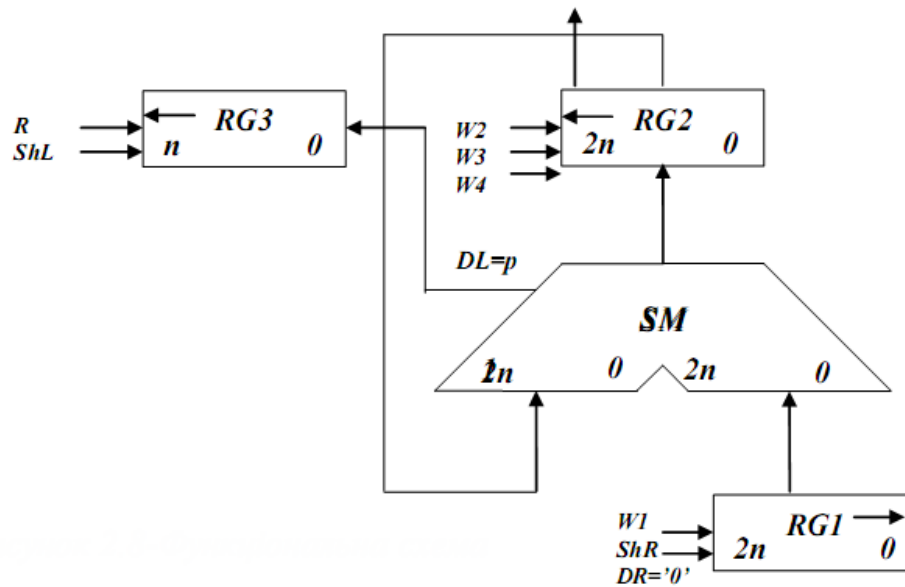


Рисунок 2.6.3-Функціональна схема

## 2.6.6 Закодований мікроалгоритм

Таблиця 2.6.2- Таблиця кодування мікрооперацій

Таблиця кодування мікрооперацій		Таблиця кодування логічних умов	
МО	УС	ЛУ	Позначення
RG3:=0	R	RG2[2n+1]	X1
RG1:=Y	W1	RG3[n]	X2
RG2:=X	W2		
RG2:=RG2+RG1	W3		
RG1:=0.r(RG1)	ShR		
RG3:=l(RG3).SM(p)	ShL		
RG2:=RG2+RG1+1	W4		

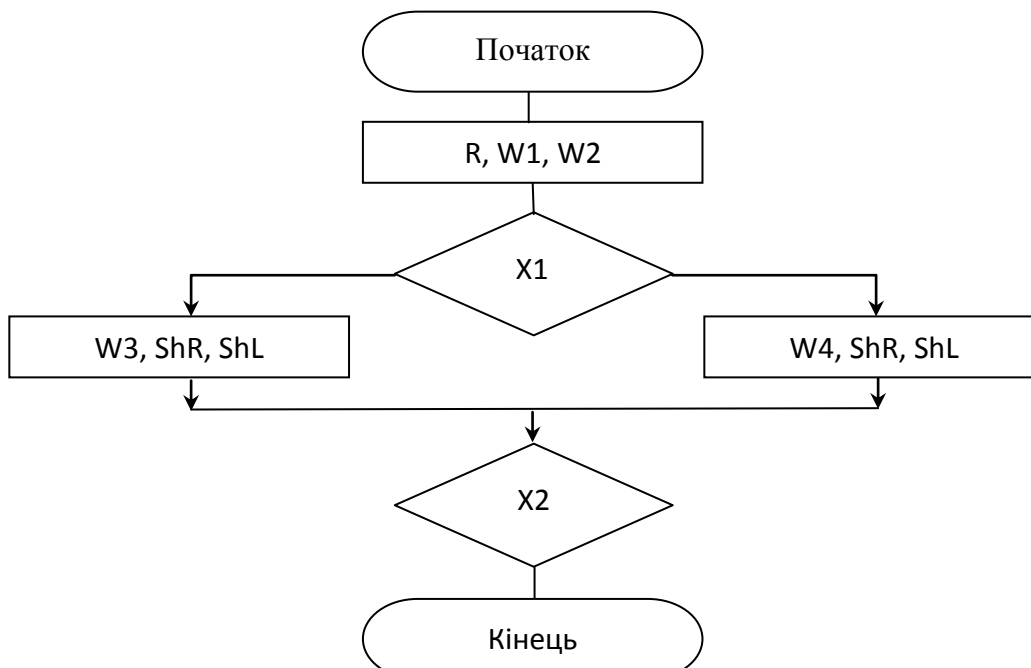




Рисунок 2.6.4- Закодований мікроалгоритм

## 2.6.7 Граф управляючого автомата Мура з кодами вершин

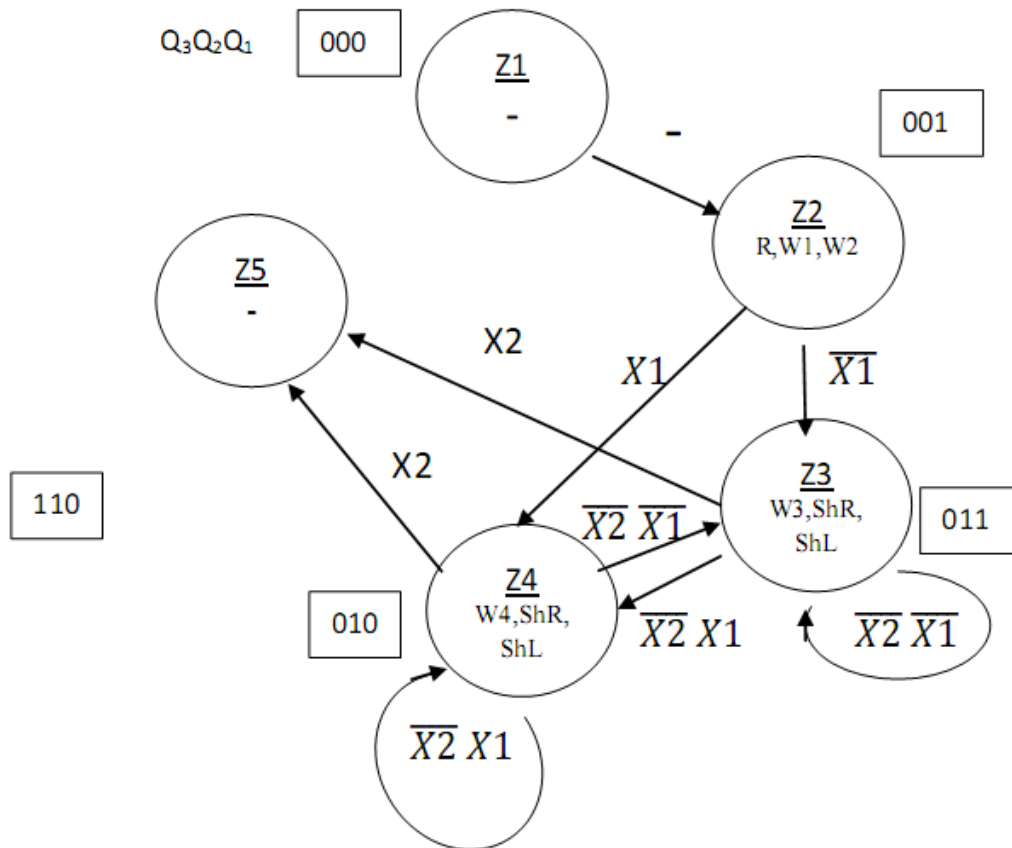


Рисунок 2.6.5- Граф автомата Мура

## 2.6.8 Обробка порядків:

Порядок частки буде дорівнювати:  $P_z = P_x - P_y$ ;

В моєму випадку  $P_x=8$ ;  $P_y=5$ ;  $P_z=3$ ;

## 2.6.8 Нормалізація результату:

Отримали результат: **1101000010100011**

Знак манти:  $1 \oplus 0 = 1$ .

Нормалізація манти не потрібна.

0	0	0	0	0	0	1	1	1	1	0	1	0	0	0	0	1	0	1	0	0	0	1
---	---	---	---	---	---	---	---	---	---	---	---	---	---	---	---	---	---	---	---	---	---	---

## 2.7. Операція додавання чисел.

### 2.7.1 Теоретичне обґрунтування способу

В пам'яті числа зберігаються у ПК. На першому етапі додавання чисел з плаваючою комою виконують вирівнювання порядків до числа із старшим

порядком. На другому етапі виконують додавання мантис. Додавання мантис виконується у доповнювальних кодах, при необхідності числа у ДК переводяться в АЛП. Додавання виконується порозрядно на n-розрядному суматорі з переносом. Останній етап – нормалізація результату. Виконується за допомогою зсуву мантиси результату і коригування порядку результату. Порушення нормалізації можливо вліво і вправо, на 1 розряд вліво і на n розрядів вправо.

1. Порівняння порядків.

$$P_x = +8_{10} = +1000_2$$

$$P_y = +5_{10} = +0101_2$$

$$P_x > P_y \Rightarrow$$

$$\Delta = P_x - P_y = 8_{10} - 5_{10} = 3_{10} = 11_2$$

2. Вирівнювання порядків.

Робимо зсув вправо мантиси числа Y, зменшуючи  $\Delta$  на кожному кроці, доки  $\Delta$  не стане 0.

Таблиця 2.7.1- Таблиця зсуву мантиси на етапі вирівнювання порядків

$M_Y$	$\Delta$	Мікрооперація
0,101100111001101	11	Початковий стан
0,010110011100110	10	$M_y = 0.r(M_y); \Delta := \Delta - 1$
0,001011001110011	01	$M_y = 0.r(M_y); \Delta := \Delta - 1$
0,000101100111001	00	$M_y = 0.r(M_y); \Delta := \Delta - 1$

3. Додавання мантис у модифікованому ДК.

$$X_{\text{мдк}} = 11.010011000110011$$

$$Y_{\text{мдк}} = 00.000101100111001$$

Таблиця 2.7.2-Додавання мантис(для додавання)

$M_X$	1	1,	0	1	0	0	1	1	0	0	0	1	1	0	0	1	1
$M_Y$	0	0,	0	0	0	1	0	1	1	0	0	1	1	1	0	0	1
$M_Z$	1	1,	1	0	0	1	1	1	0	1	0	0	1	0	1	1	1

$$Z_{\text{дк}} = 1.100111010010111$$

$$Z_{\text{пк}} = 1.011000101101100$$

4. Нормалізація результату (В ПК).

$$P_z = 7_{10} = 111_2$$

0	0	0	0	0	1	1	1	1	1	1	0	0	0	1	0	1	1	0	1	1	0	0	0
---	---	---	---	---	---	---	---	---	---	---	---	---	---	---	---	---	---	---	---	---	---	---	---

## 2.7.2 Операційна схема

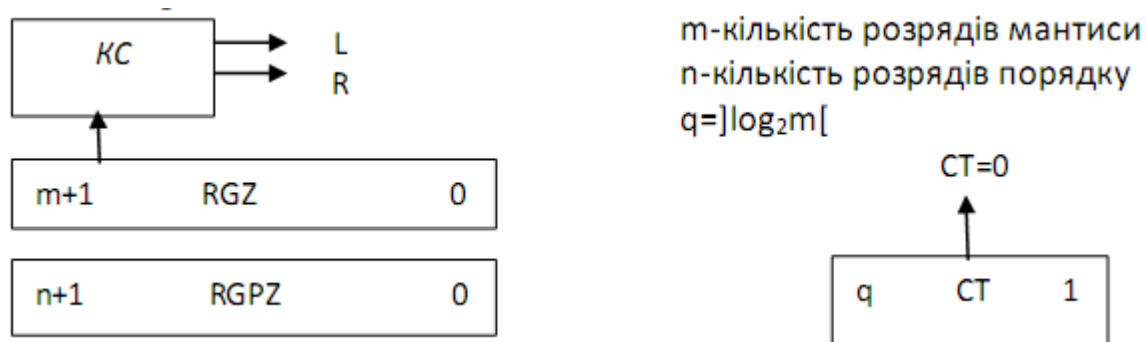


Рисунок 2.7.1-Операційна схема

Виконаємо синтез КС для визначення порушення нормалізації.

Таблиця 2.7.4-Визначення порушення нормалізації

Розряди регістру RGZ			Значення функцій	
$Z'_0$	$Z_0$	$Z_1$	L	R
0	0	0	0	1
0	0	1	0	0
0	1	0	1	1
0	1	1	1	0

$$L = Z_0, R = \overline{Z_1}.$$

Результат беремо по модулю, знак встановлюємо за  $Z'_0$  до нормалізації.

### 2.7.3 Змістовний алгоритм

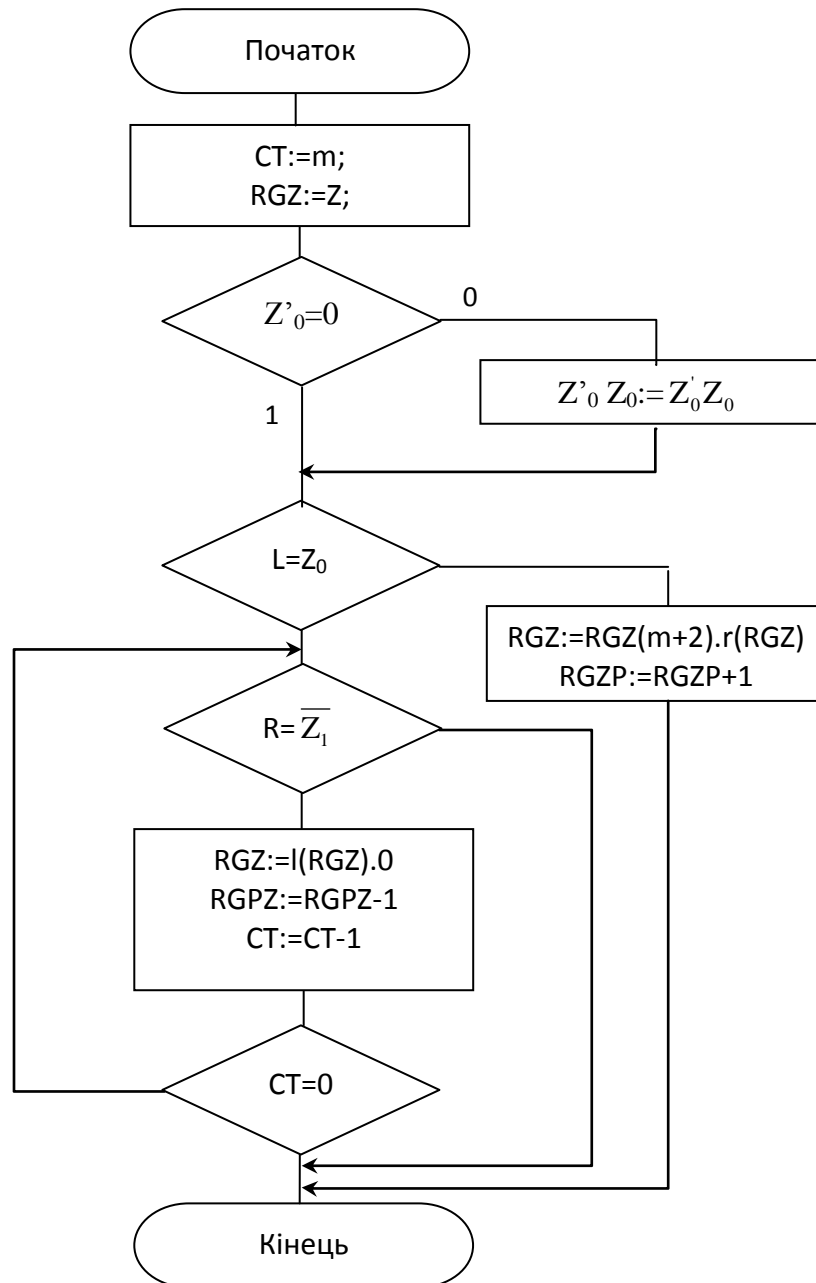


Рисунок 2.7.2-Змістовний мікроалгоритм

## 2.7.4 Таблиця станів регістрів

### 1) Додавання

Таблиця 2.7.5- Таблиця станів регістрів

№ такту	RGPZ	RGZ	ЛПН(L)	ППН(R)	СТ	Мікрооперація
ПС	001000	11.100111010010111	0	1	100	

## 2.7.5 Функціональна схема з відображенням керуючих сигналів

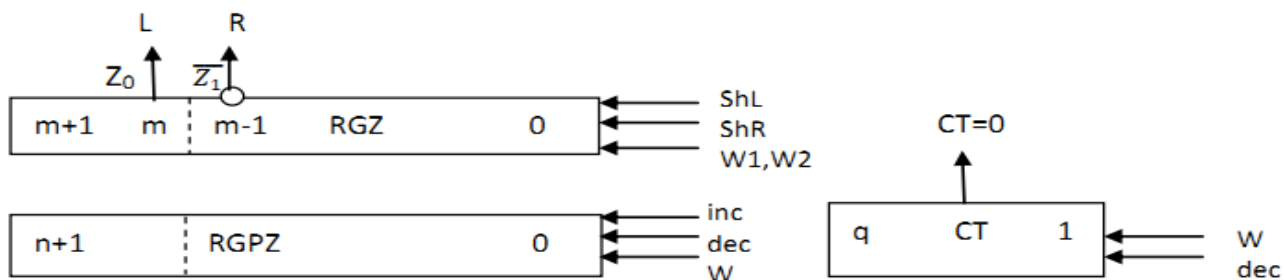


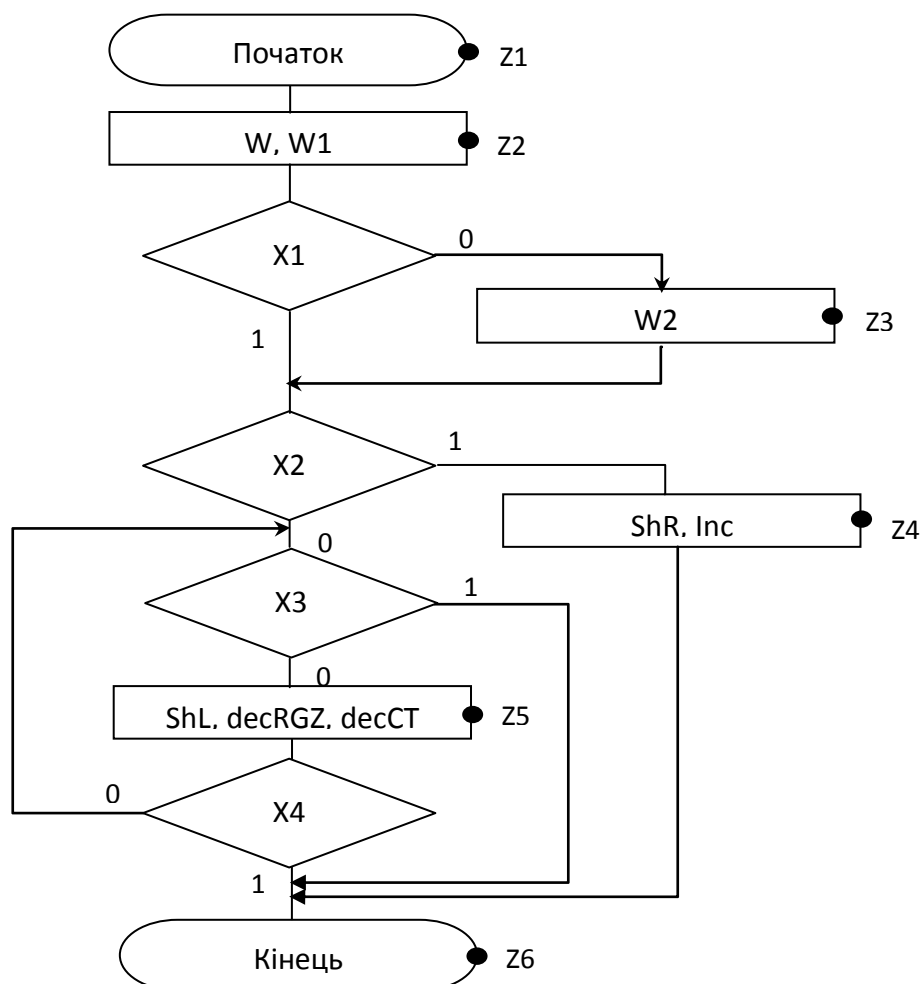
Рисунок 2.7.3 – Функціональна схема

## 2.7.6 Закодований мікроалгоритм

Таблиця 2.7.7– Таблиця кодування

Таблиця кодування мікрооперацій	
МО	УС
CT:=m;	W
RGZ:=Z;	W1
$Z'_0 Z_0 := \overline{Z'_0} Z_0$	W2
RGZ:=RGZ(m+2).r(RGZ)	ShR
RGPZ:=RGZ+1	inc
RGZ:=l(RGZ).0	ShL
RGPZ:=RGZ-1	dec
CT:=CT-1;	dec

Таблиця кодування логічних умов	
ЛУ	Позначення
$Z'_0 = 0$	X1
$L = Z_0$	X2
$R = \overline{Z_1}$	X3
$CT = 0$	X4



### 2.7.7 Граф управляючого автомата Мура з кодами вершин

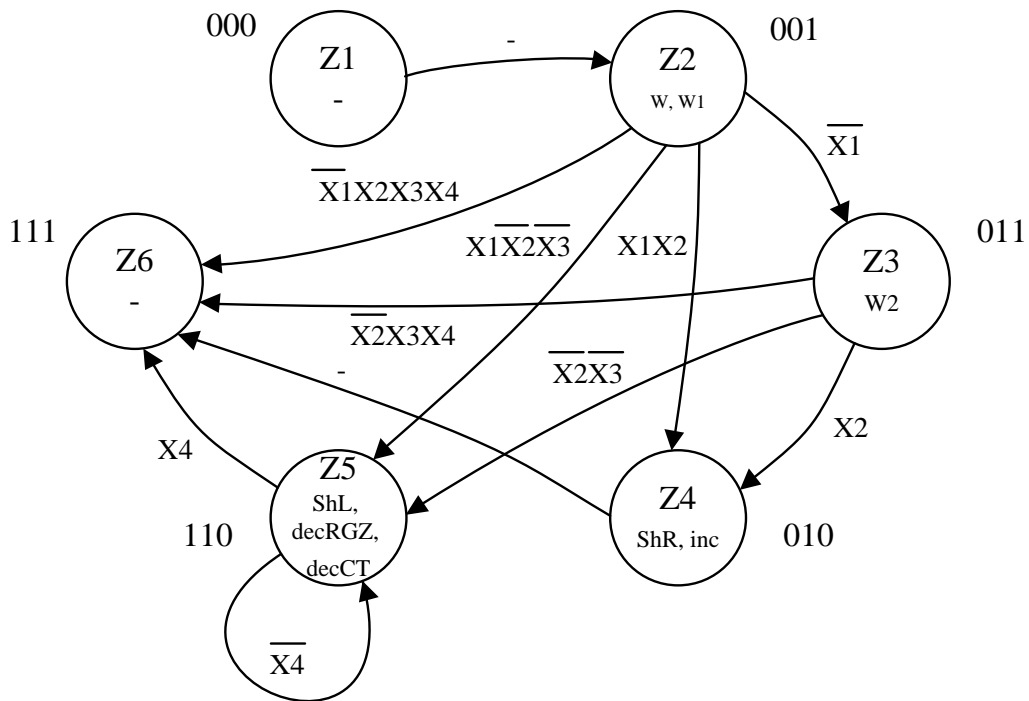


Рисунок 2.7.5 – Граф автомата Мура

### 2.7.8 Обробка порядків

$$P_{X+Y} = 8_{10} = 1000_2$$

### 2.7.9 Форма запису результату з плаваючою комою

Результат додавання  $Z = X + Y$ .

$$Z_{\text{пк}} = 1.011000101101100$$

$$P_z = 7_{10} = 111_2$$

$$M_z = -110001011011000_2$$

0	0	0	0	0	1	1	1	1	1	0	0	0	1	0	1	1	0	1	1	0	0	0
---	---	---	---	---	---	---	---	---	---	---	---	---	---	---	---	---	---	---	---	---	---	---

## 2.8. Операція добування кореня

### 2.8.1 Теоритичне обґрунтування операції обчислення квадратного кореня

Аргумент вводиться зі старших розрядів. Порядок результату дорівнює поділеному на два порядку аргумента. З мантиси добувається корінь завдяки нерівностям:

$$Z_i \leq \sqrt{X} \leq Z_i + 2^{-i};$$

$$Z_i^2 \leq X \leq Z_i^2 + 2^{-i}Z_i + 2^{-2i};$$

$$0 \leq 2^{i-1}(X - Z_i^2) \leq Z_i + 2^{-i-1}.$$

Виконання операції зводиться до послідовності дій:

1. Одержання остачі.

$$R_{i+1}' = 2R_i - Z_i - 2^{-i-2};$$

2. Якщо  $R_{i+1}' \geq 0$ , то  $Z_{i+1} = 1$ ,  $R_{i+1} = R_{i+1}'$ .

3. Якщо  $R_{i+1}' < 0$ , то  $Z_{i+1} = 0$ ,  $R_{i+1} = R_{i+1}' + Z_i - 2^{-i-2}$ .

Відновлення остачі додає зайвий такт, але можна зробити інакше:

$R_{i+2} = 2R_{i+1}' + Z_i + 2^{-i-2} + 2^{-i-3}$ , тоді корінь добувається без відновлення залишку.

Для цього  $R_i$  зсувається на 2 розряди ліворуч, а  $Z_i$  - на 1 розряд ліворуч, і формується як при діленні.

## 2.8.2 Операційна схема операції обчислення квадратного кореня

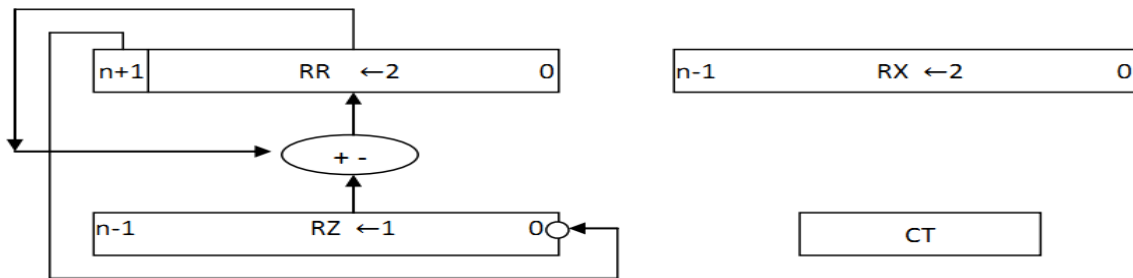


Рисунок 2.8.1 –Операційна схема

## 2.8.3 Змістовний мікроалгоритм

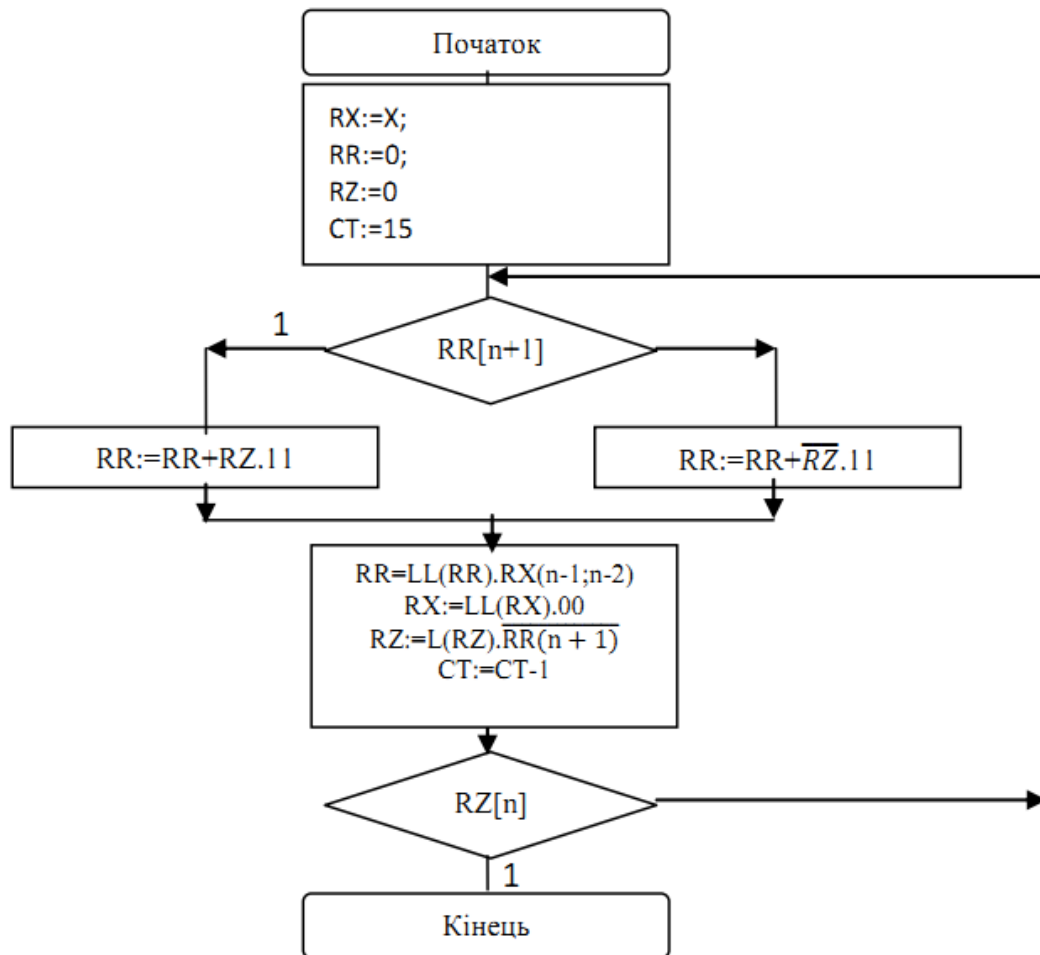


Рисунок 2.8.2 – Змістовний мікроалгоритм

## 2.8.4 Таблиця станів регістрів

Таблиця 2.8.1 – Таблиця станів регістрів

№	RZ	RR	RX	CT
пс		0000000000000000		
пз	0000000000000000	0000000000000010	101100111001110	1111
1		0000000000000010 + 1111111111111111 0000000000000001 0000000000000011	010110011100111	1110
2		0000000000000011 + 1111111111111011 0000000000000010 0000000000000100	001011001110011	1101
3		0000000000000100 + 1111111111110011 1111111111111011 1111111111110111	000101100111001	1100
	0000000000000110			



4	000000000001101	1111111111101111 + 00000000000011011 00000000000001010 00000000000101010	000010110011100	1011
5	000000000011010	00000000000101010 + 11111111111001011 1111111111110101 11111111111010101	000001011001110	1010
6	000000000110101	11111111111010101 + 00000000001101011 00000000001000000 00000000100000011	000000101100111	1001
7	000000001101011	00000000100000011 + 11111111100101011 00000000000101110 00000000010111000	000000010110011	1000
8	000000011010110	00000000010111000 + 11111111001010011 11111111100001011 11111110000101100	000000001011001	0111
9	000000110101100	11111110000101100 + 00000001101011011 11111111110000111 11111111000011100	000000000101100	0110
10	000001101011001	11111111000011100 + 00000011010110011 00000010011001111 00001001100111100	000000000010110	0101
11	000011010110011	00001001100111100 + 11111001010011011 00000010111010111 00001011101011100	000000000001011	0100
12	000110101100110	00001011101011100 + 11110010100110011 11111110010001111 11111001000111100	000000000000101	0011
13	001101011001101	11111001000111100	000000000000010	0010

		+ 00011010110011011 00010011111010111 01001111101011100		
14	011010110011011	01001111101011100 + 11001010011001011 00011010000100111 01101000010011100	0000000000000001	0001
15	110101100110110	01101000010011100 + 10010100110010011 1111101000101111 11110100010111100	0000000000000000	0000

### 2.8.5 Функціональна схема операції обчислення квадратного кореня

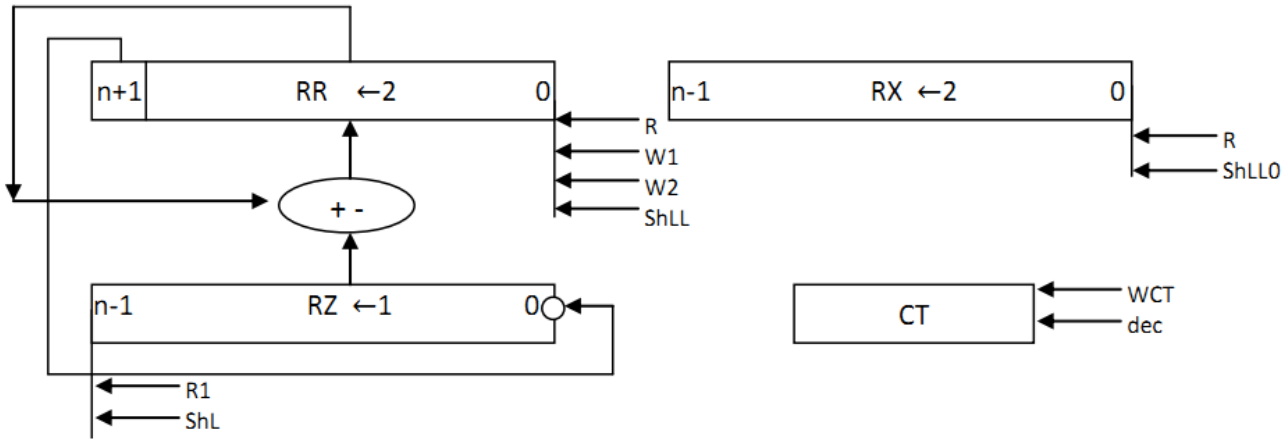


Рисунок 2.8.3 – Функціональна схема

### 2.8.6 Закодований мікроалгоритм

Таблиця 2.8.2 – Таблиця кодування

Таблиця кодування мікрооперацій	
МО	YC
RX:=X;	WX
RR:=0;	R
RZ:=0	R1
CT:=15	WCT
RR:=RR+RZ.11	W1
RR:=RR+ $\overline{RZ}$ .11	W2
RR=LL(RR).RX(n-1;n-2)	ShLL
RX:=LL(RX).00	ShLL0
RZ:=L(RZ). $\overline{RR(n+1)}$	ShL
CT:=CT-1	dec

Таблиця кодування логічних умов	
ЛУ	Позначення
RR[n+1]	X1
RZ[n]	X2

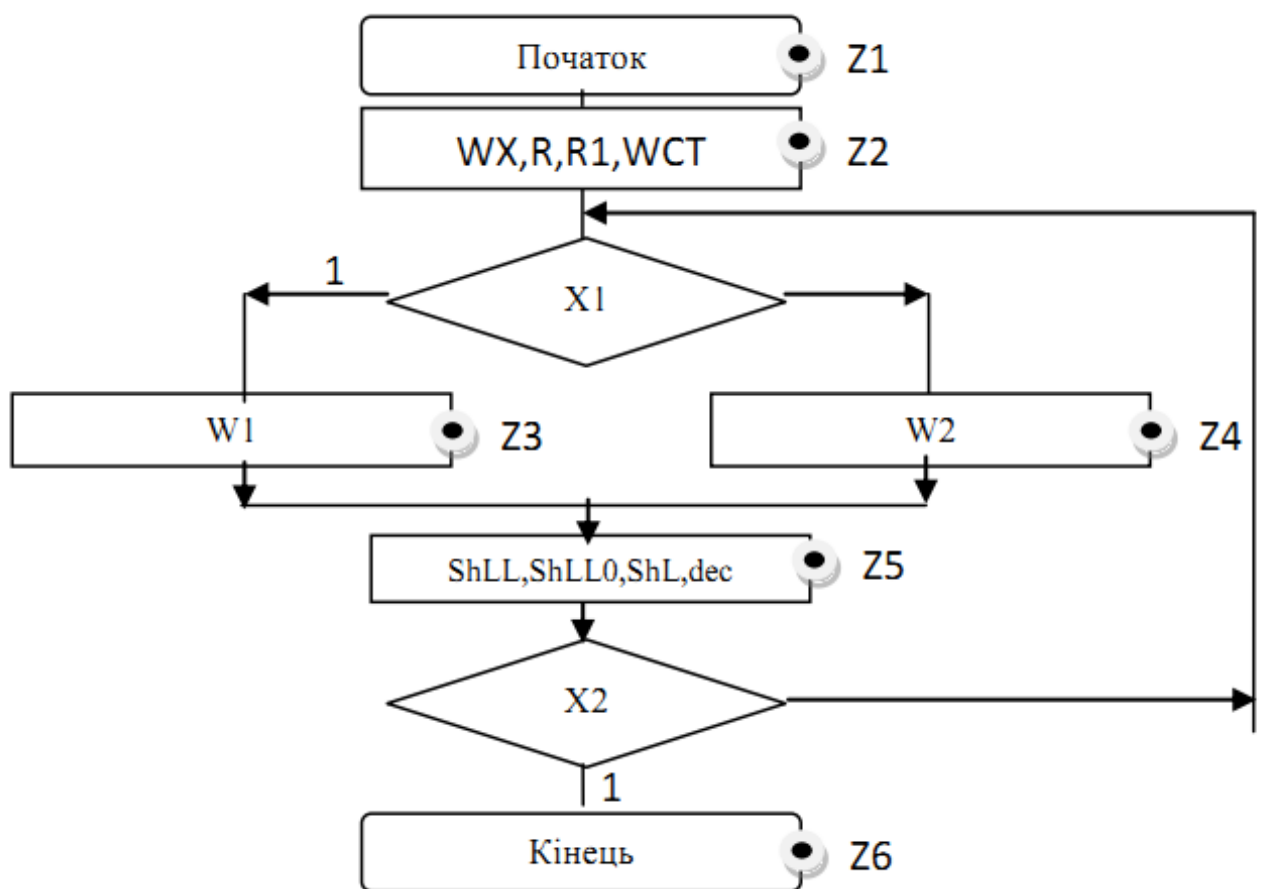


Рисунок 2.8.4 – Закодований мікроалгоритм

## 2.8.7 Граф управляючого автомата Мура з кодами вершин

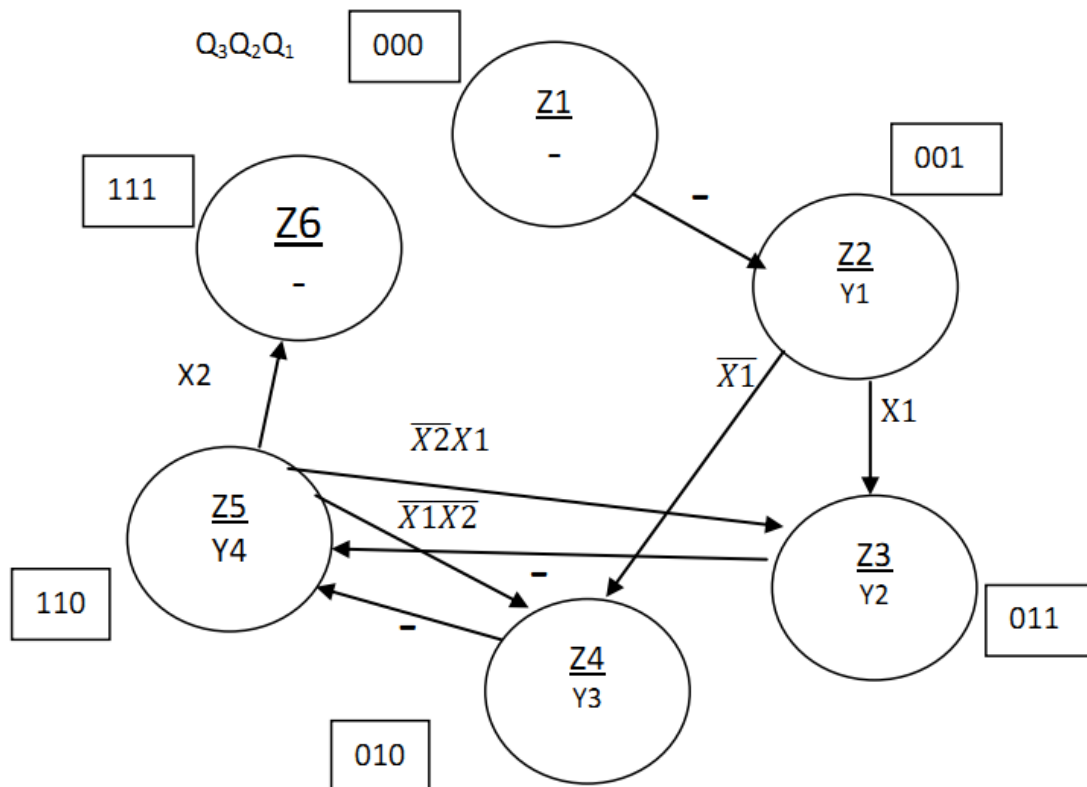


Рисунок 2.8.5 – Граф управляющего автомата Мура

### 2.8.8 Обробка порядків

$$P_z = P_x/2;$$

В моєму випадку  $P_z=4$ ;

### 2.8.9 Запис результату

Отримали результат  $Z = 110101100110110$ ;

Результат нормалізований, готовий до запису у мантису:

0	0	0	0	0	1	0	0	0	1	1	0	1	0	1	1	0	0	1	1	0	1	1	0
---	---	---	---	---	---	---	---	---	---	---	---	---	---	---	---	---	---	---	---	---	---	---	---

## Завдання 3

$x_3x_2x_1=6$ — операція додавання.

### 3.1 Таблиця співвідношення управляючих входів операційного автомата і виходів управляючого автомата

За закодованим мікроалгоритмом складемо таблицю:

Таблиця 3.1 Таблиця кодування сигналів

Входи операційного автомата	Виходи управляючого автомата
CLR1, W2, W3, W <sub>СТ</sub>	Y1
W1	Y2
SR1,SR2,DEC	Y3

### 3.2 Мікроалгоритм в термінах управляючого автомата

Зробимо автомат Мура циклічним задля зменшення кількості вершин.

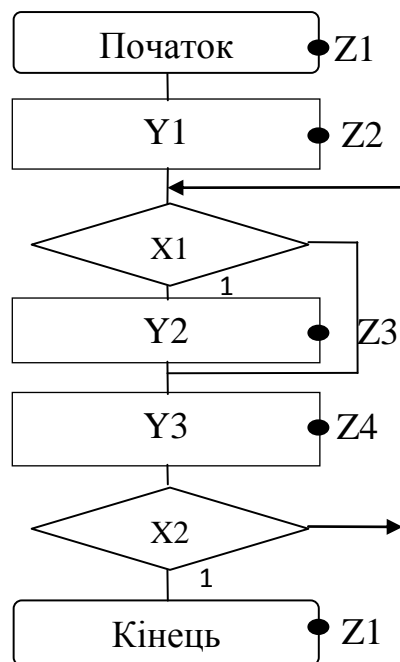


Рисунок 3.1- Закодований мікроалгоритм

Будуємо граф автомата Мура

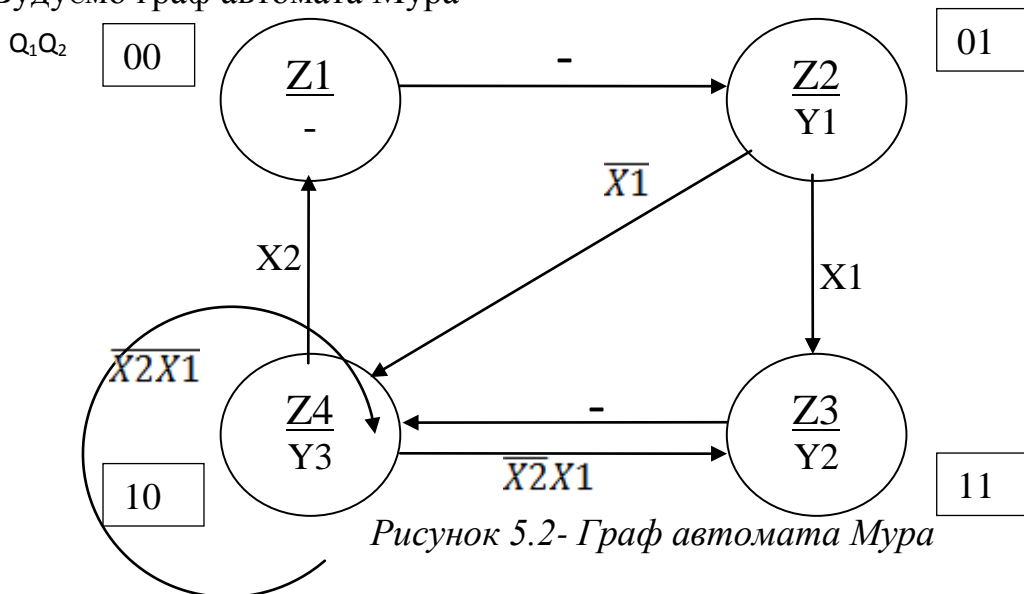


Рисунок 5.2- Граф автомата Мура

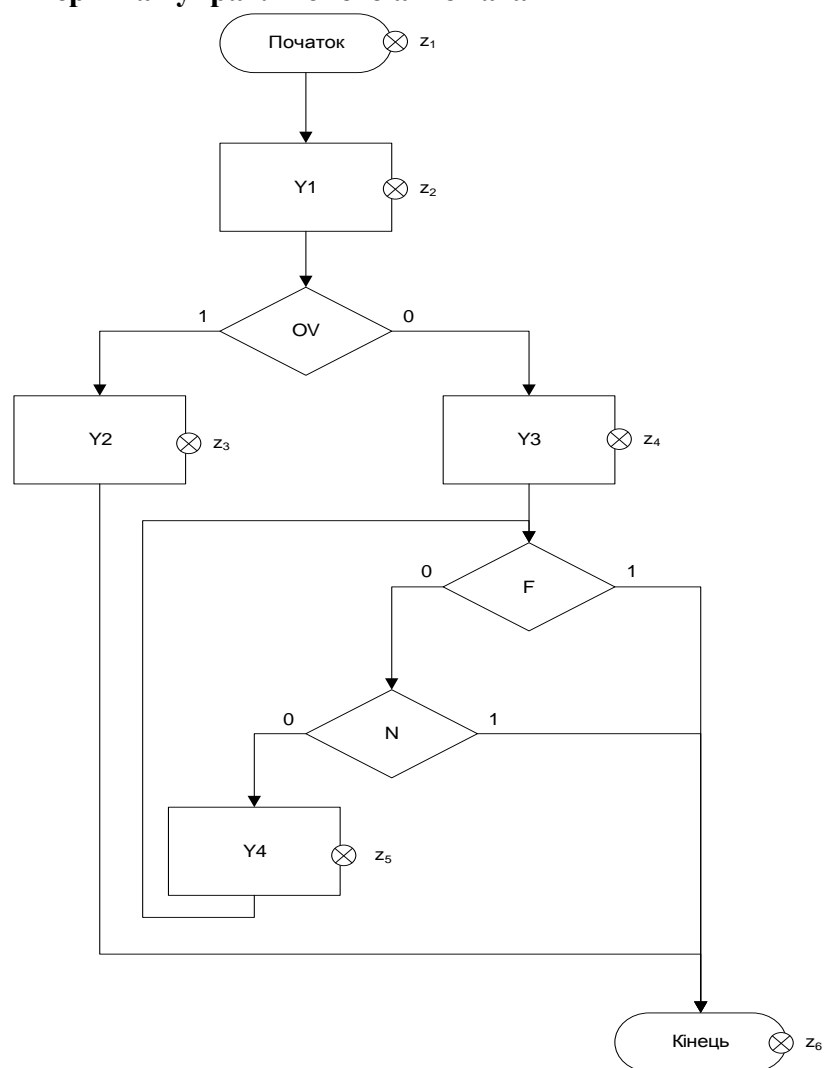
### 3.3 Структурна таблиця автомата

### 3.3.1 Таблиця співвідношення управляючих входів операційного автомата і виходів управляючого автомата

Таблиця 3.1 - Таблиця співвідношення управляючих входів операційного автомата і виходів управляючого автомата

управляючі входи	виходи управляючого автомата
$W_M, W_P$	Y1
$SHR_M, inc_P$	Y2
$W_{CT}$	Y3
$SHL_M, inc_P, dec_{CT}$	Y4

### 3.3.2 Мікроалгоритм в термінах управляючого автомата



**Рисунок 3.1 – Закодований мікроалгоритм додавання**

### 3.3.3 Структурна таблиця автомата

Таблиця 3.2 - Структурна таблиця автомата

$Q_3Q_2Q_1$	$Q_3Q_2Q_1$	OV F N	$Y_1Y_2Y_3Y_4$	$J_3K_3$	$J_2K_2$	$J_1K_1$
0 0 0	0 0 1	- - -	0 0 0 0	0 -	0 -	1 -
0 0 1	0 1 1	1 - -	1 0 0 0	0 -	1 -	- 0
0 0 1	1 0 1	0 - -	1 0 0 0	1 -	0 -	- 0
0 1 1	1 1 1	- - -	0 1 0 0	1 -	- 0	- 0
1 0 1	1 1 0	- 0 0	0 0 1 0	- 0	1 -	- 1
1 0 1	1 1 1	- 1 1	0 0 1 0	- 0	1 -	- 0
1 1 0	1 1 0	- 0 0	0 0 0 1	- 0	- 0	0 -
1 1 0	1 1 1	- 1 1	0 0 0 1	- 0	- 0	1 -

### 3.4 Синтез функцій виходів і переходів

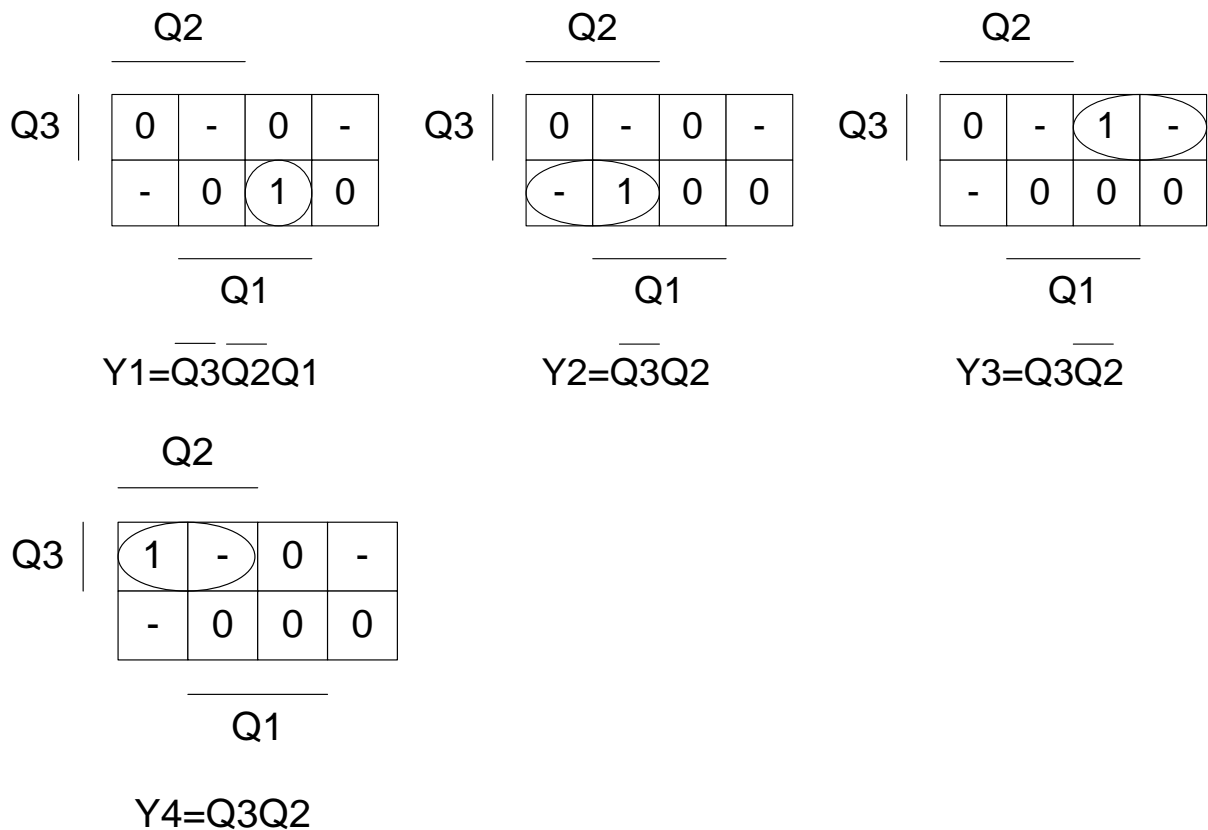
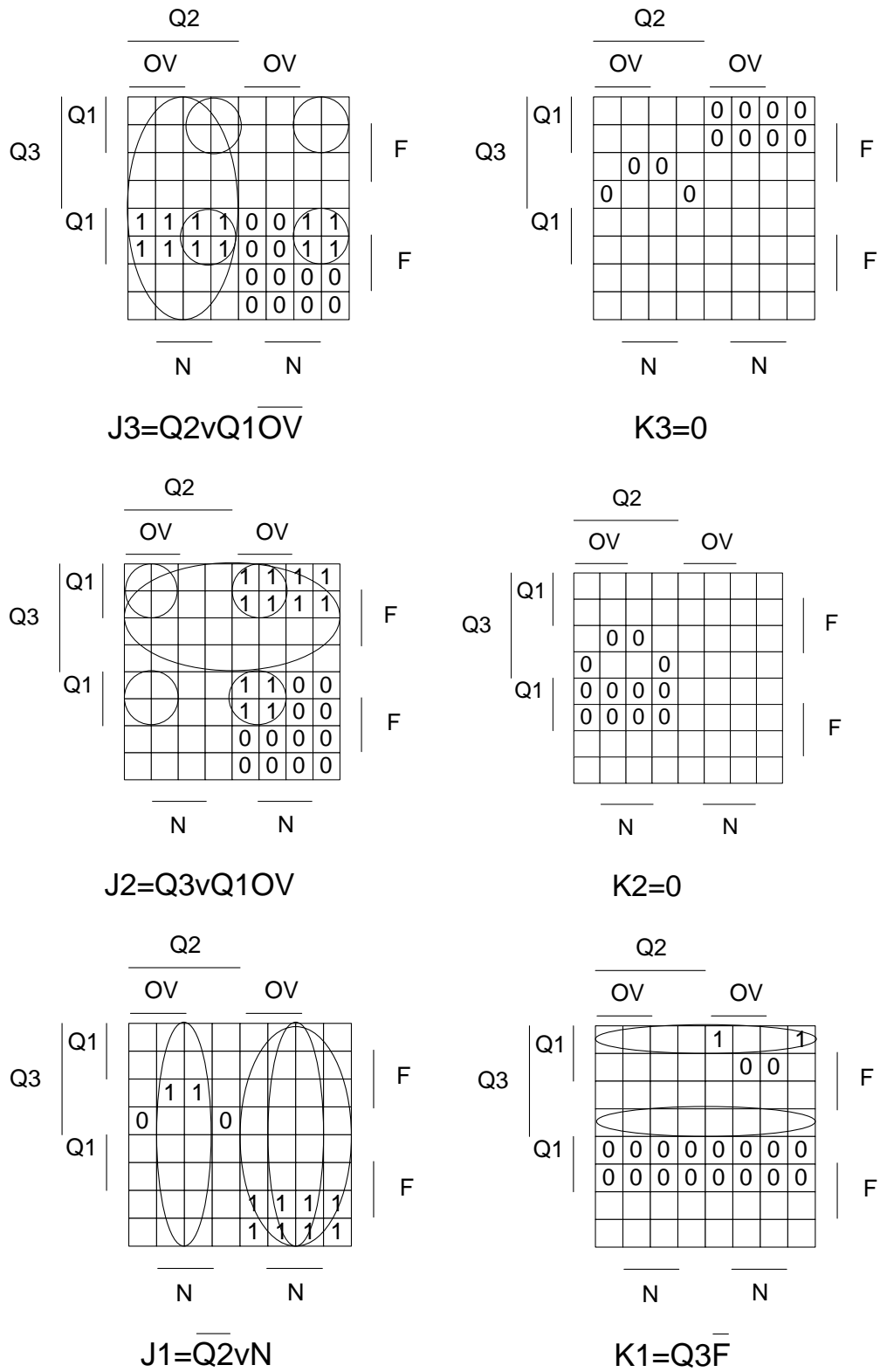


Рисунок 3.2 – Діаграми Вейча для функцій виходу



**Рисунок 3.3 – Діаграми Вейча для функцій переходу**



### 3.5 Функціональна схема пристрою (виходи управляючого автомата підключені до входів операційного автомата)

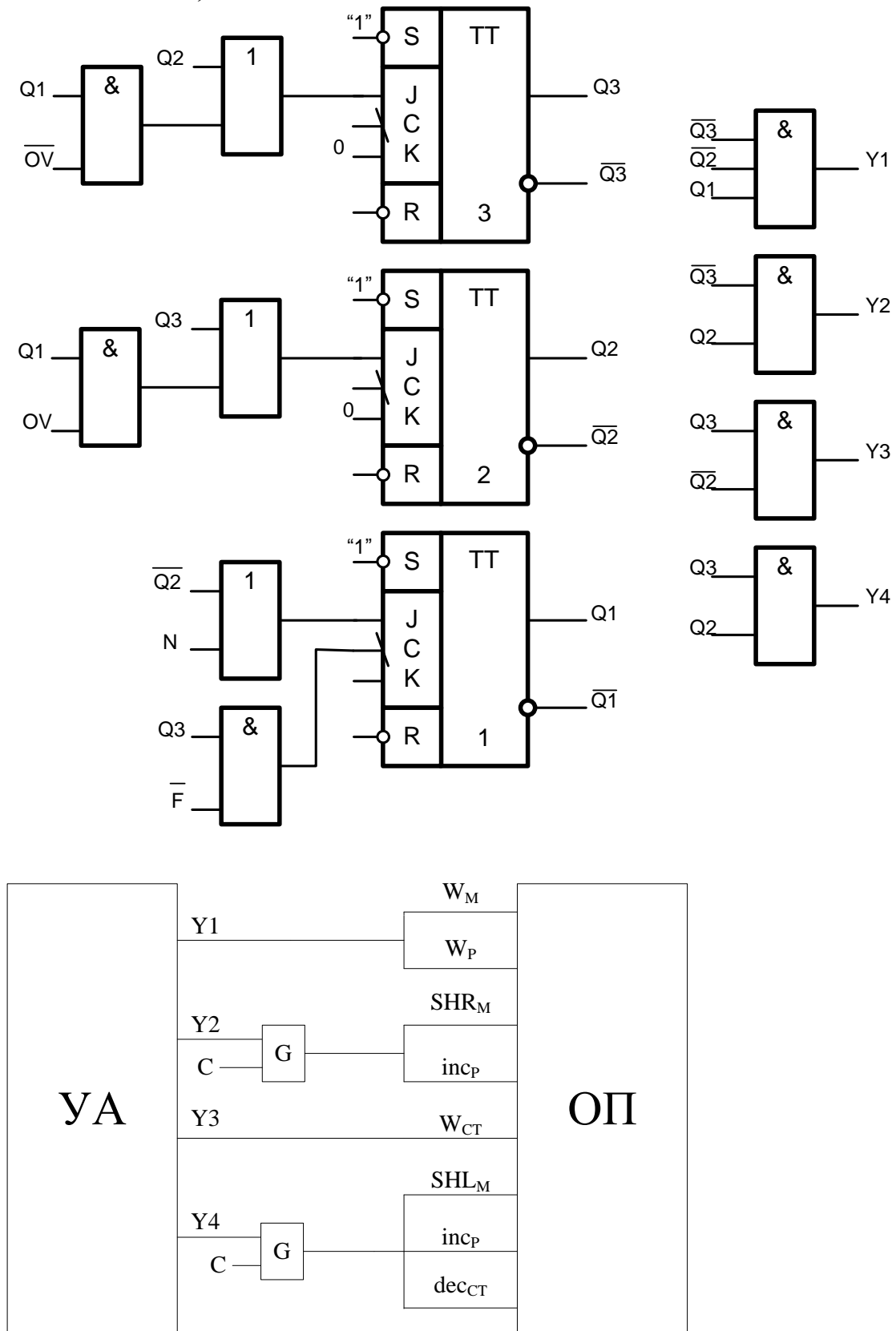


Рисунок 3.4 – Функціональна схема управляючого автомата

## Висновок

У даній розрахунковій роботі було виконано операції з числами в двійковому коді з плаваючою комою, а саме: множення чотирма способами, ділення двома способами та додавання.

Було побудовано управляючий автомат Мура на тригерах JK і елементах булевого базиса для операції додавання.

Зроблено мінімізацію функцій тригерів і в середовищі AFDK побудована функціональна схема автомата.

Під час виконання даної розрахункової роботи я повторив для себе матеріал курсу «Комп'ютерна логіка - 1», а також закріпив знання з курсу «Комп'ютерна логіка - 2».

Було використано наступну літературу:

- 1) Жабін В.І., Жуков І.А., Клименко І.А.,Ткаченко В.В. Прикладна теорія цифрових автоматів: Навчальний посібник.–К.: Книжкове вид-во НАУ, 2009. – 360 с.
- 2) Конспект лекцій з курсу «Комп'ютерна логіка - 1»
- 3) Конспект лекцій з курсу «Комп'ютерна логіка - 2»